

สำนักหอสมุดกลาง พระจอมเกล้าลาดกระบัง

การออกแบบและการสร้างวงจรโครงข่ายประสาทแบบเซลล์

THE DESIGN AND CONSTRUCTION

CELLULAR NEURAL NETWORK CIRCUIT



โดย  
นาย บัญชา ผู้สำราญ  
นาย วรชาติ มีพวงมาก

ปริญญานิพนธ์นี้เป็นส่วนหนึ่งของการศึกษาตามหลักสูตรปริญญาวิศวกรรมศาสตรบัณฑิต

ภาควิชาวิศวกรรมสารสนเทศ

คณะวิศวกรรมศาสตร์

สถาบันเทคโนโลยีพระจอมเกล้าเจ้าคุณทหารลาดกระบัง

ปีการศึกษา 2546

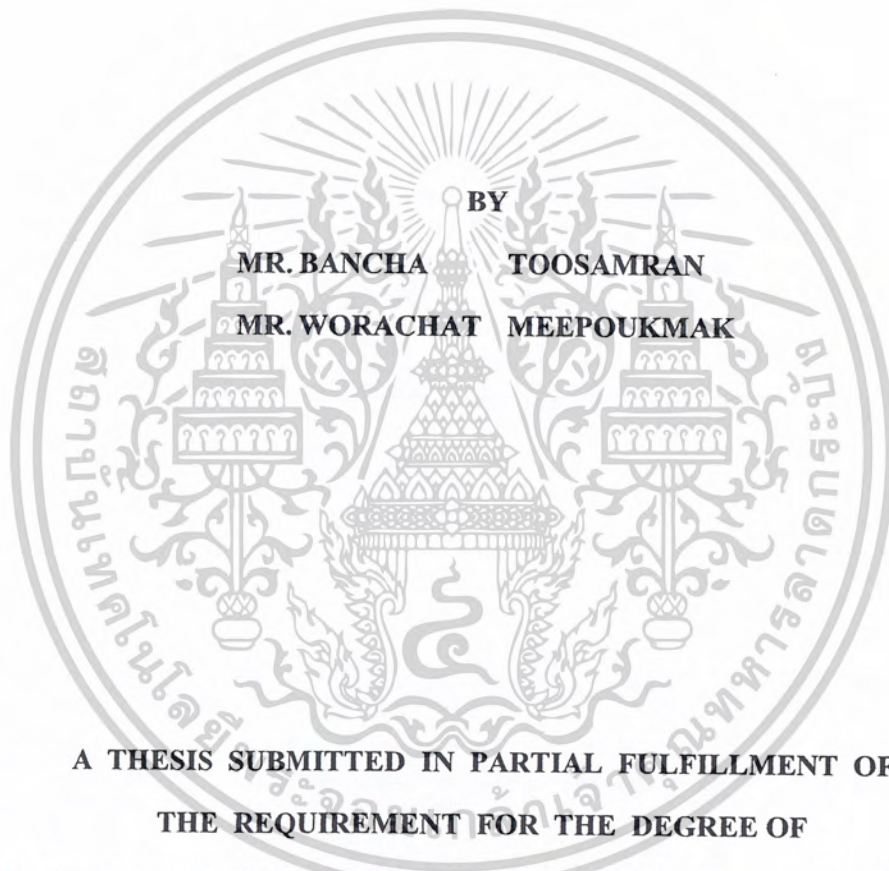
เลขหมู่.....

เลขทะเบียน 55755

วัน,เดือน,ปี 2.5 ๗.ค. 2548

b.....  
i.....

**THE DESIGN AND CONSTRUCTION  
CELLULAR NEURAL NETWORK CIRCUIT**



**A THESIS SUBMITTED IN PARTIAL FULFILLMENT OF  
THE REQUIREMENT FOR THE DEGREE OF  
BACHELOR IN DEPARTMENT OF INFORMATION ENGINEERING  
FACULTY OF ENGINEERING  
KING MONGKUT'S INSTITUTE OF TECHNOLOGY LADKRABANG**

**2003**

เอกสารนี้เป็นเอกสารที่สงวนไว้สำหรับการใช้งานเพื่อการศึกษาเท่านั้น ไม่อนุญาตให้นำไปใช้ประโยชน์ด้านการค้า  
ไม่ว่ากรณีใดๆ ทั้งสิ้น อีกทั้งห้ามมิให้ดัดแปลงเนื้อหาและต้องอ้างอิงถึงเจ้าของเอกสารทุกครั้งที่มีการนำไปใช้

หัวข้อปริญญานิพนธ์ การออกแบบและการสร้างวงจรโครงข่ายประสาทแบบเซลล์ประสาท  
ชื่อนักศึกษา นายบัญชา ผู้สำราญ รหัสประจำตัว 43010228  
นายวรชาติ มีพวงมาก รหัสประจำตัว 43010364  
อาจารย์ที่ปรึกษา รองศาสตราจารย์นิกร สุขุมตันติ  
อาจารย์กฤดากร กล่อมการ  
ระดับการศึกษา ปริญญาตรี วิศวกรรมศาสตรบัณฑิต  
สาขาวิศวกรรมสารสนเทศ  
ภาควิชา วิศวกรรมสารสนเทศ  
ปีการศึกษา 2546

ปริญญานิพนธ์ฉบับนี้ ได้รับการอนุมัติเป็นส่วนหนึ่งของการศึกษาตามหลักสูตรวิศวกรรม  
ศาสตรบัณฑิต คณะวิศวกรรมศาสตร์ สถาบันเทคโนโลยีพระจอมเกล้าเจ้าคุณทหารลาดกระบัง

(รองศาสตราจารย์นิกร สุขุมตันติ)

อาจารย์ที่ปรึกษา

กฤดากร กล่อมการ

(อาจารย์กฤดากร กล่อมการ)

อาจารย์ที่ปรึกษา

เอกสารนี้เป็นเอกสารที่สงวนไว้สำหรับการใช้งานเพื่อการศึกษาเท่านั้น ไม่อนุญาตให้นำไปใช้ประโยชน์ด้านการค้า  
ไม่ว่ากรณีใดๆ ทั้งสิ้น อีกทั้งห้ามมิให้ดัดแปลงเนื้อหาและต้องอ้างอิงถึงเจ้าของเอกสารทุกครั้งที่มีการนำไปใช้

หัวข้อปริญญานิพนธ์	การออกแบบและการสร้างวงจรโครงข่ายประสาทแบบเซลล์		
ชื่อนักศึกษา	นายบัญชา	ผู้สำราญ	รหัสประจำตัว 43010228
	นายวรชาติ	มีพวงมาก	รหัสประจำตัว 43010364
อาจารย์ที่ปรึกษา	รองศาสตราจารย์นิกร สุขุมตันติ อาจารย์กฤตากร กล่อมการ		
ระดับการศึกษา	ปริญญาตรี วิศวกรรมศาสตรบัณฑิต สาขาวิศวกรรมสารสนเทศ		
ภาควิชา	วิศวกรรมสารสนเทศ		
ปีการศึกษา	2546		

#### บทคัดย่อ

โครงการนี้เป็นกรนำเสนอการใช้งานวงจรโครงข่ายเซลล์ประสาทแบบเซลล์ (Cellular Neural Networks Circuit) เพื่อนำมาสร้างวงจรถ้าเนคสัญญาณเคออสติก (Chaotic Signal) โดยนำทฤษฎีของวงจรโครงข่ายเซลล์ประสาทแบบเซลล์มาสร้างวงจรขนาดเล็ก เราเรียกว่า เซลล์ (Cell) ในแต่ละเซลล์จะสร้างจากออปแอมป์ (Op-Amp) แหล่งกำเนิดแรงดัน แหล่งกำเนิดกระแส ซึ่งมีคุณสมบัติในแต่ละเซลล์ไม่เหมือนกัน และนำเซลล์ที่ได้มาต่อเป็นวงจรที่สามารถสร้างสัญญาณเคออสติกได้หลายรูปแบบ และทำการซิงโครไนส์ (Synchronous) ระหว่าง 2 วงจรวงจรถ้าเนคสัญญาณเคออสติกที่มีรูปแบบสัญญาณเหมือนกันเข้าด้วยกัน โดยประโยชน์ที่ได้สามารถนำไปใช้ในการเข้ารหัสช่องสัญญาณได้

เอกสารนี้เป็นเอกสารที่สงวนไว้สำหรับการใช้งานเพื่อการศึกษาเท่านั้น ไม่อนุญาตให้นำไปใช้ประโยชน์ด้านการค้า  
ไม่ว่ากรณีใดๆ ทั้งสิ้น อีกทั้งห้ามมิให้ดัดแปลงเนื้อหาและต้องอ้างอิงถึงเจ้าของเอกสารทุกครั้งที่มีการนำไปใช้

**Thesis Title** The Design and Construction Cellular Neural Network Circuit  
**Student** Mr. Bancha Toosamran ID. 43010228  
Mr. Worachat Meepoukmak ID. 43010364  
**Advisor** Assoc.Prof. Nikorn Sukutamantanti  
Mr. Kitdakorn Klomkarn  
**Graduate Level** Bachelor Degree of Information Engineering  
**Department** Information Engineering  
**Academic Year** 2003

### Abstract

This project presents the design and Construction Cellular Neural Networks (CNN) Circuit of using generates chaotic signals. In CNN theory consists of a small circuit, calls "cell". Each cell has built from OP-AMP, Voltage Source and Current Source. Each cell has not same property. The circuit generates more pattern chaotic signals and test to synchronous between 2 circuits with a same pattern chaotic signals. Project's benefits apply to encrypt and decrypt voice signal.

## กิตติกรรมประกาศ

ปริญญาบัตรฉบับนี้สำเร็จลุล่วงได้ด้วยดี ต้องขอกราบขอบพระคุณบิดา มารดาที่  
กำลังใจเสมอมา และขอขอบพระคุณอาจารย์กฤตากร กลุ่มการที่ได้ช่วยเหลือชี้แนะสิ่งต่าง ๆ  
ตลอดมา และสนับสนุนเครื่องมือในการทำปริญญาบัตรเป็นอย่างดี

สุดท้ายนี้ทางคณะผู้จัดทำ ขอขอบคุณ อาจารย์ทุกท่านที่กรุณาประสิทธิ์ประสาทวิชาความรู้  
รวมทั้งแนวทางความคิดและแนวทางปฏิบัติให้แก่คณะผู้จัดทำ จนทำให้ปริญญาบัตรฉบับนี้สำเร็จ  
ลุล่วงไปได้ด้วยดี



เอกสารนี้เป็นเอกสารที่สงวนไว้สำหรับการใช้งานเพื่อการศึกษาเท่านั้น ไม่อนุญาตให้นำไปใช้ประโยชน์ด้านการค้า  
ไม่ว่ากรณีใดๆ ทั้งสิ้น อีกทั้งห้ามมิให้ดัดแปลงเนื้อหาและต้องอ้างอิงถึงเจ้าของเอกสารทุกครั้งที่มีการนำไปใช้

## สารบัญ

	หน้า
บทคัดย่อภาษาไทย	ก
บทคัดย่อภาษาอังกฤษ	ข
กิตติกรรมประกาศ	ค
สารบัญ	ง
สารบัญรูป	ฉ
บทที่ 1 บทนำ	
1.1 แนวคิดและที่มาของปัญหา	1
1.2 จุดประสงค์	1
1.3 ขอบเขตของ โครงงาน	1
1.4 ผลที่คาดว่าจะได้รับ	2
1.5 ขั้นตอนการดำเนินงาน	2
บทที่ 2 ทฤษฎีที่เกี่ยวข้อง	
2.1 โครงข่ายประสาทแบบเซตดูดา	3
2.2 State Control CNN (SC-CNN)	6
2.3 สมการกำเนิดสัญญาณเคออสติกแบบฮิสเทอเรซิส	9
2.4 สมการกำเนิดสัญญาณเคออสติกแบบของนิ้ว	10
2.5 สมการกำเนิดสัญญาณเคออสติกของ Saito Hysteresis Chaos Generator	12
2.6 การชิงโครนัสในระบบเคออสติก	13
บทที่ 3 การออกแบบ	
3.1 การออกแบบวงจรกำเนิดสัญญาณเคออสติกแบบฮิสเทอเรซิส	16
3.2 การสร้างวงจรกำเนิดสัญญาณเคออสติกแบบฮิสเทอเรซิส ในทางปฏิบัติ	18
3.3 การออกแบบวงจรกำเนิดสัญญาณเคออสติกแบบของนิ้ว	19
3.4 การสร้างวงจรกำเนิดสัญญาณเคออสติกแบบของนิ้ว ในทางปฏิบัติ	20
3.5 การออกแบบวงจรกำเนิดสัญญาณไฮเปอร์เคออสติกแบบ SHCG	22
3.6 การชิงโครนัสวงจรในระบบเคออสติก	23

เอกสารนี้เป็นเอกสารที่สงวนไว้สำหรับการใช้งานเพื่อการศึกษาเท่านั้น ไม่อนุญาตให้นำไปใช้ประโยชน์ด้านการค้า  
ไม่ว่ากรณีใดๆ ทั้งสิ้น อีกทั้งห้ามมิให้ดัดแปลงเนื้อหาและต้องอ้างอิงถึงเจ้าของเอกสารทุกครั้งที่มีการนำไปใช้

## สารบัญ (ต่อ)

	หน้า
บทที่ 4 ผลการทดลอง	
4.1 ผลลัพธ์ที่ได้จากการจำลองวงจรกำเนิดสัญญาณเคออสติกแบบฮิสเทอเรซิส	28
4.2 สัญญาณที่ได้จากวงจรกำเนิดสัญญาณเคออสติกแบบฮิสเทอเรซิส	29
4.3 ผลลัพธ์ที่ได้จากการจำลองวงจรกำเนิดสัญญาณเคออสติกแบบของถั่ว	30
4.4 ผลลัพธ์ที่ได้จากการสร้างวงจรจริงของวงจรของถั่ว	31
4.5 ผลลัพธ์ที่ได้จากการจำลองวงจรกำเนิดสัญญาณเคออสติกแบบ SHCG	33
4.6 ผลการทดลองการซิงโครไนซ์ของวงจรของถั่ว	35
บทที่ 5 สรุปผลการทดลองและข้อเสนอแนะ	
5.1 สรุปผลการทดลอง	38
5.2 แนวทางในการพัฒนาต่อ	38
บรรณานุกรม	39

## สารบัญรูป

	หน้า
รูปที่ 2.1 แสดงเซลล์พื้นฐาน	3
รูปที่ 2.2 แสดงความสัมพันธ์ของสมการไม่เชิงเส้น $Y_{ij}$ กับ $X$	4
รูปที่ 2.3 แสดงเซลล์ CNN ขนาด $4 \times 4$	4
รูปที่ 2.4 แสดงรัศมีเซลล์ เมื่อ $r=1, 2, 3$ ตามลำดับ	5
รูปที่ 2.5 แสดงวงจร SC-CNN อย่างง่าย	6
รูปที่ 2.6 แสดงวงจร SC-CNN แบบประยุกต์	7
รูปที่ 2.7 แสดงฟังก์ชันฮิสเทอเรซิส	9
รูปที่ 2.8 แสดงออสซิลเลเตอร์ของนิ้ว	10
รูปที่ 2.9 แสดงวงจร Saito Hysteresis Chaos Generator	12
รูปที่ 2.10 แสดงระบบสมการตามสมการ (2.24)	14
รูปที่ 2.11 ระบบที่ถูกแบ่งเป็น 2 ระบบย่อย ตามสมการ (2.25)	15
รูปที่ 2.12 แสดงภาครับที่สามารถกู้สัญญาณพื้นฐานได้	15
รูปที่ 3.1 แสดงแบบจำลองของสมการกำเนิดสัญญาณเคออสติกแบบฮิสเทอเรซิส	16
รูปที่ 3.2 แสดงวงจรเสมือนสมการฮิสเทอเรซิส	17
รูปที่ 3.3 แสดงวงจรกำเนิดสัญญาณเคออสติกแบบฮิสเทอเรซิส โดยใช้เซลล์ SC-CNN 2 เซลล์	19
รูปที่ 3.4 แสดงแบบจำลองของสมการกำเนิดสัญญาณเคออสติกแบบของนิ้ว	20
รูปที่ 3.5 แสดงวงจรของนิ้วที่แทนด้วยวงจรของ SC-CNN 3 เซลล์	21
รูปที่ 3.6 แสดงแบบจำลองของสมการกำเนิดสัญญาณ ไฮเปอร์เคออสติกแบบ SHCG	22
รูปที่ 3.7 แสดงวงจรของ SHCG ที่แทนด้วย SC-CNN 4 เซลล์	23
รูปที่ 3.8 แสดงแบบจำลองการชิงโครนีสของสมการของนิ้ว	24
รูปที่ 3.9 แสดงบล็อกโคอะแกรมของวงจร	25
รูปที่ 3.10 แสดงรายละเอียดของบล็อกต่างๆ	26
รูปที่ 3.10(ต่อ) แสดงรายละเอียดของบล็อกต่างๆ	27
รูปที่ 4.1 แสดงผลตอบสนองทางเวลาของ $x_1$ และ $x_2$	28
รูปที่ 4.2 แสดงกราฟของ $x_1$ และ $x_2$ บนระนาบ XY	28
รูปที่ 4.3 แสดงผลตอบสนองทางเวลาของ $x_1$	29

เอกสารนี้เป็นเอกสารที่สงวนไว้สำหรับการใช้งานเพื่อการศึกษาเท่านั้น ไม่อนุญาตให้นำไปใช้ประโยชน์ด้านการค้า  
ไม่ว่ากรณีใดๆ ทั้งสิ้น อีกทั้งห้ามมิให้ดัดแปลงเนื้อหาและต้องอ้างอิงถึงเจ้าของเอกสารทุกครั้งที่มีการนำไปใช้

## สารบัญรูป(ต่อ)

	หน้า
รูปที่ 4.4 แสดงผลตอบสนองทางเวลาของ $x_2$	29
รูปที่ 4.5 แสดงสัญญาณ $x_1$ และ $x_2$ บนระนาบ XY จากออสซิลเลเตอร์	30
รูปที่ 4.6 แสดงผลตอบสนองทางเวลาของ $x_1$ , $x_2$ และ $x_3$	30
รูปที่ 4.7 แสดงกราฟของ $x_1$ และ $x_2$ บนระนาบ XY	31
รูปที่ 4.8 แสดงผลตอบสนองทางเวลาของ $x_1$	31
รูปที่ 4.9 แสดงผลตอบสนองทางเวลาของ $x_2$	32
รูปที่ 4.10 แสดงสัญญาณของ $x_1$ และ $x_2$ บนระนาบ XY จากออสซิลเลเตอร์	32
รูปที่ 4.11 แสดงผลตอบสนองทางเวลาของ $x_1$ , $x_2$ , $x_3$ และ $x_4$	33
รูปที่ 4.12 แสดงกราฟของ $x_1$ และ $x_2$ บนระนาบ XY	33
รูปที่ 4.13 แสดงผลตอบสนองทางเวลาของ X	34
รูปที่ 4.14 แสดงผลตอบสนองทางเวลาของ Y	34
รูปที่ 4.15 แสดงผลตอบสนองทางเวลาของ Z	34
รูปที่ 4.16 แสดงผลตอบสนองทางเวลาของ W	35
รูปที่ 4.17 แสดงสัญญาณของ X และ Y บนระนาบ XY จากออสซิลเลเตอร์	35
รูปที่ 4.18 แสดงความสัมพันธ์ของ $x_1$ กับ $x'_1$	35
รูปที่ 4.19 แสดงความสัมพันธ์ของ $x_1$ กับ $x''_1$	36
รูปที่ 4.20 แสดงสัญญาณที่ภาคส่ง	36
รูปที่ 4.21 แสดงสัญญาณที่ภาครับตรวจจับได้	37

# บทที่ 1

## บทนำ

### 1.1 แนวคิดและที่มาของปัญหา

การสร้างวงจรกำเนิดสัญญาณเคออสติกสร้างจากวงจรอิเล็กทรอนิกส์ไม่เชิงเส้นแบบต่างๆ หลายชนิด แต่ส่วนใหญ่ยังต้องใช้ตัวเหนี่ยวนำในการสร้างวงจร ส่งผลให้วงจรมีขนาดใหญ่ ไม่สามารถที่จะย่อให้มีขนาดเล็กลงได้ ในโครงการนี้จึงได้นำวงจร โครงข่ายประสาทแบบเซลล์ลุ่ม มาสร้างวงจรกำเนิดสัญญาณเคออสติกแทน ซึ่งไม่ต้องใช้ตัวเหนี่ยวนำในการสร้างวงจร ทำให้วงจรที่สร้างได้มีขนาดเล็กลง อีกทั้งยังสามารถสร้างสัญญาณเคออสได้หลายรูปแบบ

โดยตัวโครงข่ายประสาทแบบเซลล์ลุ่มสามารถนำไปสร้างเป็นชิป(Chip) ที่มีขนาดเล็กเพื่อประหยัดพื้นที่ในการใช้งานทางด้านการเข้ารหัสข้อมูลที่ต้องการส่งได้

### 1.2 จุดประสงค์

- 1.2.1 เพื่อให้เข้าใจถึงหลักการของเซลล์ลุ่มนิวโรนเน็ตเวิร์ค (Cellular Neural Network) และนำไปประยุกต์ใช้งานได้
- 1.2.2 ออกแบบและสร้างสัญญาณเคออสติกรูปแบบต่างๆ โดยใช้วงจรที่สร้างด้วย CNN
- 1.2.3 ทำการซิงโครไนส์สัญญาณเคออสติกของทั้งสองวงจรได้
- 1.2.4 เพื่อศึกษารูปแบบของสัญญาณเคออสติกที่ได้และนำไปประยุกต์ใช้ในการสื่อสาร

### 1.3 ขอบเขตของโครงการ

- 1.3.1 สร้างวงจร CNN ได้
- 1.3.2 สร้างสัญญาณเคออสติกรูปแบบต่างๆ ได้
- 1.3.3 ทำการซิงโครไนส์วงจร 2 วงจรเข้าด้วยกันเพื่อสร้างสัญญาณเคออสติกในหลายรูปแบบได้

เอกสารนี้เป็นเอกสารที่สงวนไว้สำหรับการใช้งานเพื่อการศึกษาเท่านั้น ไม่อนุญาตให้นำไปใช้ประโยชน์ด้านการค้า ไม่ว่าจะกรณีใดๆ ทั้งสิ้น อีกทั้งห้ามมิให้ดัดแปลงเนื้อหาและต้องอ้างอิงถึงเจ้าของเอกสารทุกครั้งที่มีการนำไปใช้

## 1.4 ผลที่คาดว่าจะได้รับ

- 1.4.1 สร้างสัญญาณเคออสติกรูปแบบที่ซับซ้อนได้
- 1.4.2 ทักษะในการใช้เครื่องมือวัด
- 1.4.3 ทักษะในการต่อวงจรอิเล็กทรอนิกส์
- 1.4.4 เข้าใจแนวคิดและหลักการของ CNN
- 1.4.5 นำความรู้เกี่ยวกับ CNN ที่ได้ไปประยุกต์ให้กับงานอื่นๆได้ในอนาคต

## 1.5 ขั้นตอนการดำเนินงาน

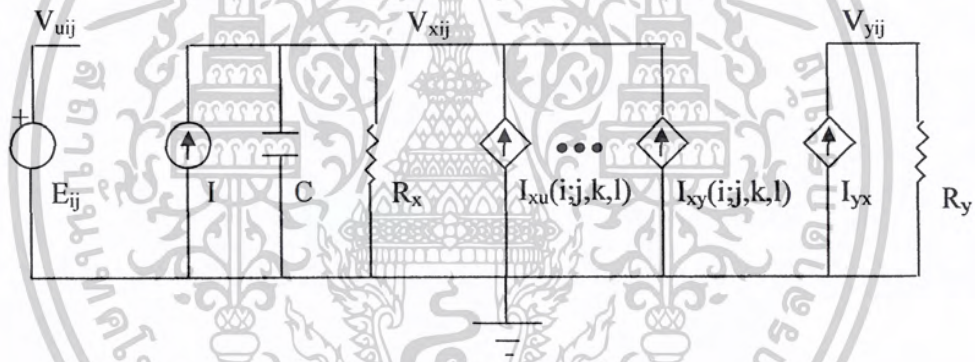
	ลำดับงาน	2003							2004		
		มิ.ย.	ก.ค.	ส.ค.	ก.ย.	ต.ค.	พ.ย.	ธ.ค.	ม.ค.	ก.พ.	มี.ค.
1	ตั้งปัญหา และ ความต้องการ										
2	ศึกษาทฤษฎีของ CNN										
3	ออกแบบวงจร CNN										
4	ทดลองวงจรที่ได้ออกแบบ										
5	ทำการชิงโครนัสสัญญาณ										
6	ทดลองและสรุปผลการทดลอง										
7	ทำชิ้นงาน										
8	จัดการเอกสาร										

เอกสารนี้เป็นเอกสารที่สงวนไว้สำหรับการใช้งานเพื่อการศึกษาเท่านั้น ไม่อนุญาตให้นำไปใช้ประโยชน์ด้านการค้าไม่ว่ากรณีใดๆ ทั้งสิ้น อีกทั้งห้ามมิให้ดัดแปลงเนื้อหาและต้องอ้างอิงถึงเจ้าของเอกสารทุกครั้งที่มีการนำไปใช้

## บทที่ 2 ทฤษฎีที่เกี่ยวข้อง

### 2.1 โครงข่ายประสาทแบบเซลล์

Cellular Neural Networks: CNN ได้ถูกเสนอโดยศาสตราจารย์ลีออน โอ ชัว (Leon O. Chua) และ ลิน หยาง (Lin Yang) ในปี ค.ศ.1988 โดย ศาสตราจารย์ชัวได้เสนอแบบจำลองที่ใช้ทำงานง่าย เพื่อประมวลผลข้อมูลที่ต้องการความเร็วสูง ความคิดที่วันนี้ได้แนวความคิดมาจากเซลล์อัตโนมัติมาตา (Cellular Automata) และระบบโครงข่ายประสาทเทียม (Neural Networks) ศาสตราจารย์ชัวได้เสนอสถาปัตยกรรมใหม่ที่ใช้จัดการงานที่ต้องประมวลผลอย่างหนัก เช่น การประมวลผลภาพ และการแก้สมการอนุพันธ์ เป็นต้น และสามารถนำไปประยุกต์สร้างวงจรรวม (Integrated Circuit) ได้ง่าย



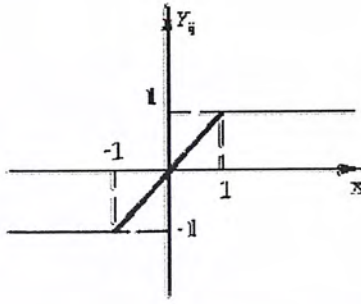
รูปที่ 2.1 แสดงเซลล์พื้นฐาน

จากรูปที่ 2.1 เป็นการแสดงหน่วยพื้นฐานของ CNN เรียกว่า เซลล์ โดยวงจรประกอบด้วย อุปกรณ์เชิงเส้นและอุปกรณ์ไม่เชิงเส้น แสดงดังรูปที่ 1.1 โดยเซลล์  $C(i, j)$  มี 1 อินพุต ( $u_{ij}$ ), 1 เอาท์พุต ( $y_{ij}$ ) และ 1 ตัวแปรสถานะ  $v_{ij}$  (แทนในรูปด้วยโหนด  $v_{u_{ij}}$ ,  $v_{y_{ij}}$  และ  $v_{x_{ij}}$ ) มีเอาท์พุต  $y_{ij}$  เป็นฟังก์ชันกับสถานะ  $v_{ij}$

$$v_{ij} = f(x_{ij}) = \frac{1}{\tau} (|x_{ij} + 1| - |x_{ij} - 1|) \quad (2.1)$$

แสดงความสัมพันธ์ได้ดังรูปที่ 2.2

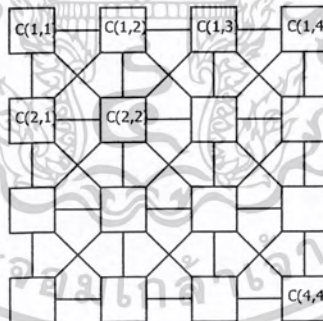
เอกสารนี้เป็นเอกสารที่สงวนไว้สำหรับการใช้งานเพื่อการศึกษาเท่านั้น ไม่อนุญาตให้นำไปใช้ประโยชน์ด้านการค้า ไม่ว่ากรณีใดๆ ทั้งสิ้น อีกทั้งห้ามมิให้ดัดแปลงเนื้อหาและต้องอ้างอิงถึงเจ้าของเอกสารทุกครั้งที่มีการนำไปใช้



รูปที่ 2.2 แสดงความสัมพันธ์ของสมการ ไม่เชิงเส้น  $y_{ij}$  กับ  $x$

จากรูปที่ 2.1 เซลล์ CNN ประกอบด้วยแหล่งกำเนิดกระแสควบคุมด้วยแรงดัน (Voltage Controlled Current Source)  $I_{yx} = (1/R_y) \cdot f(v_{xij})$  เป็นอุปกรณ์ไม่เชิงเส้น โดยหัวใจหลักของวงจรอยู่ที่ ตัวเก็บประจุ(C) ต่อขนานกับความต้านทาน ( $R_x$ ) แหล่งกำเนิดกระแสเสถียร (I) และกลุ่มของแหล่งกำเนิดกระแสควบคุมด้วยแรงดัน  $I_{xu}(i, j; k, l), \dots, I_{xy}(i, j; k, l)$  โดยสมมติให้มีค่าเริ่มต้น  $|x_{ij}(0)| \leq 1$  และ  $|u_{ij}| \leq 1$

สำหรับโครงข่ายประสาทแบบเซลล์จะประกอบด้วยเซลล์หลาย ๆ เซลล์ แต่ละเซลล์ติดต่อกับเซลล์ข้างเคียงเท่านั้น ดังรูปที่ 2.3



รูปที่ 2.3 แสดงเซลล์ CNN ขนาด  $4 \times 4$

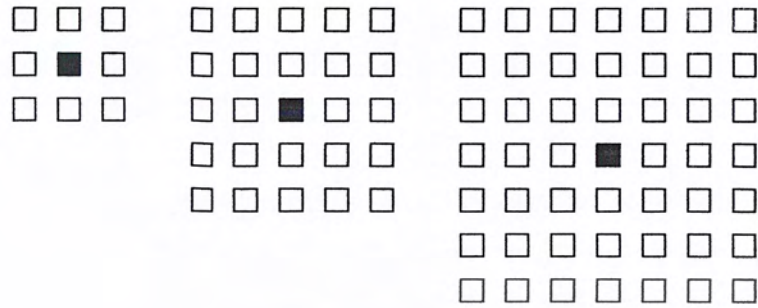
รูปสี่เหลี่ยมแทนตัวเซลล์ ขณะที่เส้นที่ลากระหว่างเซลล์แทนเชื่อมต่อของเซลล์ CNN

เราจะทำการให้นิยามเซลล์ข้างเคียง( $N_r$ ) ของเซลล์ CNN ให้

$$N_r(i, j) = \{C(k, l) \mid \max\{|k - i|, |l - j|\} \leq r, 1 \leq k \leq M, 1 \leq l \leq N\} \quad (2.2)$$

โดย  $r \in \mathbb{N} - \{0\}$  เป็นรัศมีของเซลล์

เอกสารนี้เป็นเอกสารที่สงวนไว้สำหรับการใช้งานเพื่อการศึกษาเท่านั้น ไม่อนุญาตให้นำไปใช้ประโยชน์ด้านการค้า  
ไม่ว่ากรณีใดๆ ทั้งสิ้น อีกทั้งห้ามมิให้ดัดแปลงเนื้อหาและต้องอ้างอิงถึงเจ้าของเอกสารทุกครั้งที่มีการนำไปใช้



รูปที่ 2.4 แสดงรัศมีเซลล์ เมื่อ  $r=1, 2, 3$  ตามลำดับ

การเชื่อมต่อเซลล์  $C(i, j)$  (เซลล์สี่ดำตรงกลาง) และเซลล์ข้างเคียง  $N_r(i, j)$  เมื่อมีรัศมีเซลล์เป็น 1, 2, 3 ดังรูปที่ 2.4 การเชื่อมต่อเซลล์  $C(i, j)$  กับเซลล์ข้างเคียง  $N_r(i, j)$  ถูกเชื่อมต่อด้วยแหล่งกำเนิดกระแสควบคุมด้วยแรงดันแบบเชิงเส้น อินพุตและเอาต์พุตของเซลล์ที่ล้อมรอบมีผลต่อค่ากระแส  $I_{r,j}$  ของ  $C(i, j)$  ที่อยู่ตรงกลางด้วยการใช้แหล่งกำเนิดกระแสควบคุมด้วยแรงดัน 2 ค่า ถูกนิยามตามสมการ

$$\begin{aligned} I_{xy}(i, j; k, l) &= A(i, j; k, l) \cdot v_{ykl} \\ I_{xu}(i, j; k, l) &= B(i, j; k, l) \cdot v_{ukl} \end{aligned} \quad (2.3)$$

โดย  $A(i, j; k, l), B(i, j; k, l) \in R$

เรียก  $A(i, j; k, l)$  ว่า สัมประสิทธิ์การป้อนกลับ (Feedback Template Coefficient)

$B(i, j; k, l)$  ว่า สัมประสิทธิ์การควบคุม (Control Template Coefficient)

จากการใช้ กฎกระแสและแรงดันของเคอร์ชอฟ ได้ว่า

$$C \frac{dv_{xij}}{dt} = -\frac{1}{R_x} v_{xij}(t) + A \cdot v_{yij}(t) + B \cdot v_{uij}(t) + I \quad (2.4)$$

$$1 \leq i \leq M, 1 \leq j \leq N$$

เอกสารนี้เป็นเอกสารที่สงวนไว้สำหรับการใช้งานเพื่อการศึกษาเท่านั้น ไม่อนุญาตให้นำไปใช้ประโยชน์ด้านการค้า  
ไม่ว่ากรณีใดๆ ทั้งสิ้น อีกทั้งห้ามมิให้ดัดแปลงเนื้อหาและต้องอ้างอิงถึงเจ้าของเอกสารทุกครั้งที่มีการนำไปใช้

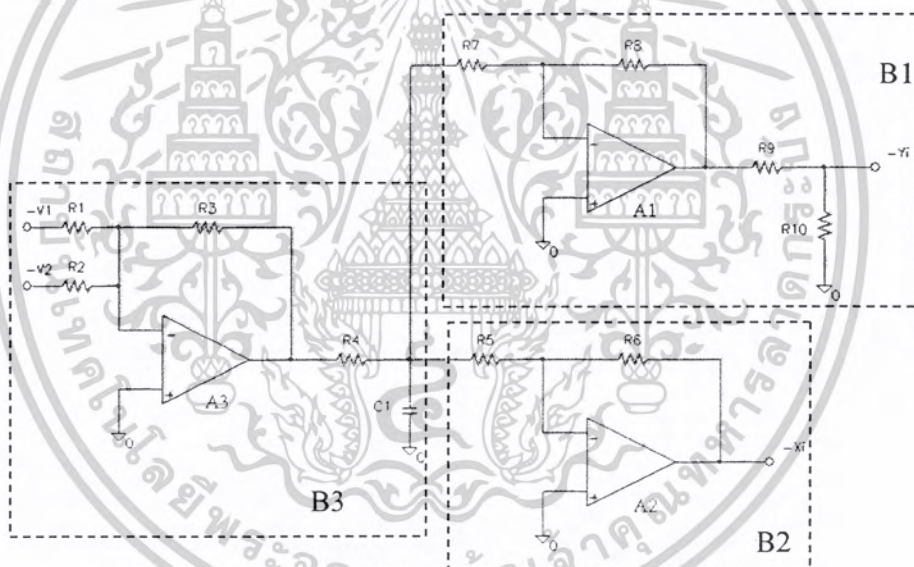
## 2.2 State Control CNN (SC-CNN)

SC-CNN ต่างจาก CNN คือ SC-CNN มีการป้อนกลับของสถานะ  $s_{ij}$  และไม่มีอินพุต แสดงได้ดังสมการ คือ

$$\frac{dx_i}{dt} = -x_i + \sum_{C(j) \in N_r(i)} [S_{i,j}x_j + A_{i,j}y_i] + I \quad (2.5)$$

$$1 \leq i, j \leq N$$

จากสมการ(2.5) สามารถสร้างวงจรอิเล็กทรอนิกส์โดยใช้ออปแอมป์ได้ ดังรูปที่ 2.5



รูปที่ 2.5 แสดงวงจร SC-CNN อย่างง่าย

จากรูปที่ 2.5 กลุ่ม B1 เป็นวงจรของสมการไม่เชิงเส้น  $f(x_{ij}) = \frac{1}{2}(|x_{ij} + 1| - |x_{ij} - 1|)$  ประกอบไปด้วยวงจรขยายสัญญาณแบบกลับเฟส (Inverting Amplifier) และวงจรแบ่งแรงดันเพื่อลดขนาดของเอาต์พุต ให้อยู่ในช่วง  $[-1, 1]$  พิจารณาสมการเพื่อการออกแบบได้ดังนี้

เอกสารนี้เป็นเอกสารที่สงวนไว้สำหรับการใช้งานเพื่อการศึกษาเท่านั้น ไม่อนุญาตให้นำไปใช้ประโยชน์ด้านการค้า ไม่ว่าจะกรณีใดๆ ทั้งสิ้น อีกทั้งห้ามมิให้ดัดแปลงเนื้อหาและต้องอ้างอิงถึงเจ้าของเอกสารทุกครั้งที่มีการนำไปใช้

$$R_8 / R_7 = V_{sat_4} / V_{sat_x}$$

$$R_7 / R_8 = R_{10} / (R_9 + R_{10}) \quad (2.6)$$

เมื่อ  $V_{sat_4}$  เป็นแรงดันเอาต์พุตอิ่มตัวของออปแอมป์ A1

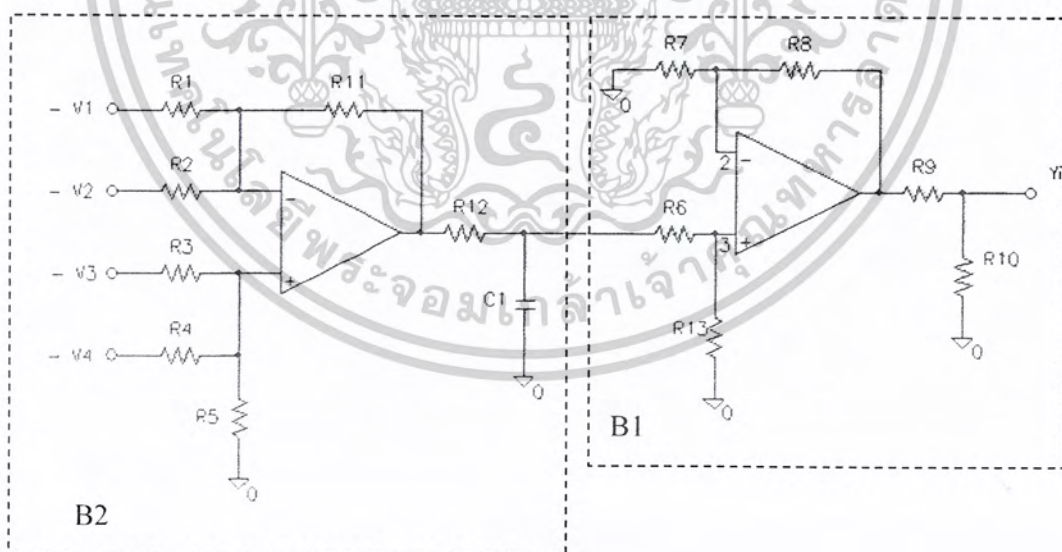
$V_{sat_x}$  เป็นแรงดันอินพุต (ในกรณีนี้  $V_{sat_x} = 1$ )

จากรูปที่ 2.5 กลุ่ม B2 เป็นวงจรขยายสัญญาณแบบกลับเฟส มีอัตราขยายเป็น 1

จากรูปที่ 2.5 กลุ่ม B3 เป็นหัวใจหลักของวงจรประกอบด้วยวงจรรวมสัญญาณแบบกลับเฟส (Inverting Summing Amplifier) และวงจรอินทิเกรเตอร์ (RC) ให้อินพุตของกลุ่ม B1 และ B2 ไม่มีผลต่อแรงดันตกคร่อมตัวเก็บประจุ จะได้ว่า

$$C_j \frac{dx_j}{dt} = -\frac{x_j}{R_4} + \frac{R_3}{R_1 R_4} V_1 + \frac{R_3}{R_2 R_4} V_2 \quad (2.7)$$

อย่างไรก็ตาม เราสามารถที่จะลดจำนวนของออปแอมป์ลงได้ โดยการลดวงจรขยายสัญญาณแบบกลับเฟส(B2) เพราะเราสามารถกลับเฟสของสัญญาณได้ที่อินพุตของออปแอมป์โดยตรง และเปลี่ยนวงจรไม่เชิงเส้นเสียใหม่ จะได้วงจรดังรูปที่ 2.6



รูปที่ 2.6 แสดงวงจร SC-CNN แบบประยุกต์

เอกสารนี้เป็นเอกสารที่สงวนไว้สำหรับการใช้งานเพื่อการศึกษาเท่านั้น ไม่อนุญาตให้นำไปใช้ประโยชน์ด้านการค้า  
ไม่ว่ากรณีใดๆ ทั้งสิ้น อีกทั้งห้ามมิให้ดัดแปลงเนื้อหาและต้องอ้างอิงถึงเจ้าของเอกสารทุกครั้งที่มีการนำไปใช้

โดยกำหนดเงื่อนไขค่าความต้านทานของวงจรเป็นดังนี้

$$\frac{1}{R_5} = \frac{1}{R_{11}} + \frac{1}{R_1} + \frac{1}{R_2} - \frac{1}{R_3} - \frac{1}{R_4} \quad (2.8)$$

$$\frac{1}{R_{13}} = \frac{1}{R_8} + \frac{1}{R_7} - \frac{1}{R_6}$$

ทำให้เราได้สมการของวงจรเป็นดังนี้

$$C_j \frac{dx_j}{dt} = -\frac{x_j}{R_{12}} + \frac{R_{11}}{R_1 R_{12}} V_1 + \frac{R_{11}}{R_2 R_{12}} V_2 - \frac{R_{11}}{R_3 R_{12}} V_3 - \frac{R_{11}}{R_4 R_{12}} V_4 \quad (2.9)$$

จากสมการนี้ทำให้เราออกแบบวงจรได้ง่ายขึ้น โดยไม่ต้องคำนึงถึงเฟสของแรงดัน หากต้องการให้ค่าที่ได้เป็นกลับเฟสสัญญาณก็ต่อสัญญาณเข้าที่ขากลับเฟสของออปแอมป์(ขาลบ) หรือไม่ต้องการกลับเฟสของสัญญาณก็ต่อสัญญาณเข้าที่ขาบวกของออปแอมป์ได้

### 2.3 สมการกำเนิดสัญญาณแกออสติกแบบฮิสเทอเรซิส (Hysteresis)

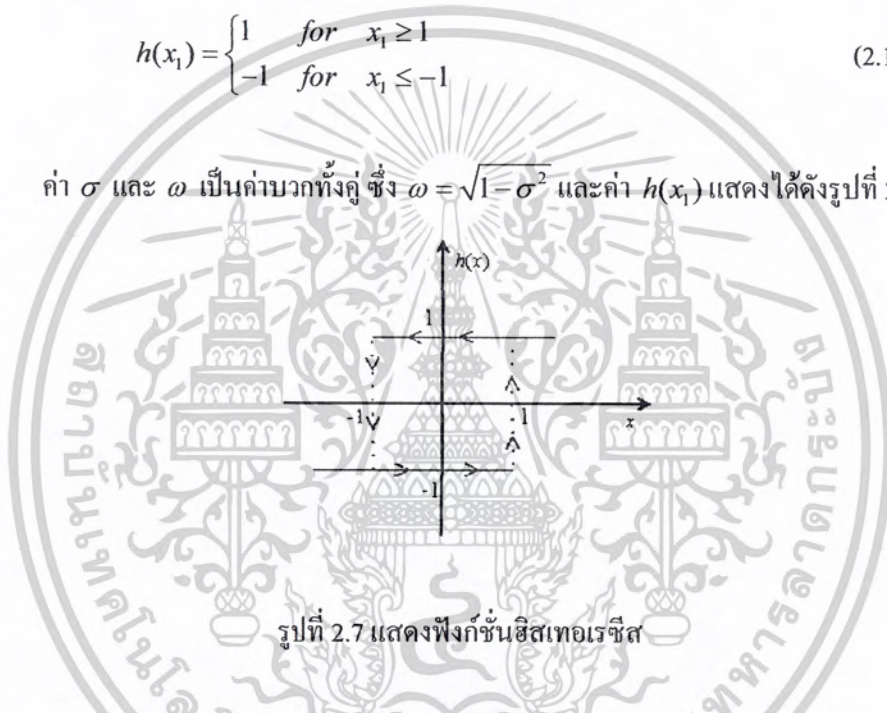
เป็นสมการที่คิดค้นโดย Saito, T. Mitsubori

$$\begin{bmatrix} \frac{dx_1}{dt} \\ \frac{dx_2}{dt} \end{bmatrix} = \begin{bmatrix} \sigma & \omega \\ -\omega & \sigma \end{bmatrix} \begin{bmatrix} x_1 \\ x_2 \end{bmatrix} + \begin{bmatrix} 0 \\ h(x_1) \end{bmatrix} \quad (2.10)$$

โดย

$$h(x_1) = \begin{cases} 1 & \text{for } x_1 \geq 1 \\ -1 & \text{for } x_1 \leq -1 \end{cases} \quad (2.11)$$

ค่า  $\sigma$  และ  $\omega$  เป็นค่าบวกทั้งคู่ ซึ่ง  $\omega = \sqrt{1 - \sigma^2}$  และค่า  $h(x_1)$  แสดงได้ดังรูปที่ 2.6



รูปที่ 2.7 แสดงฟังก์ชันฮิสเทอเรซิส

จากสมการ(2.10) สามารถเขียนให้อยู่ในรูปแบบของสมการ SC-CNN ได้

$$\frac{dx_1}{dt} = -x_1 + a_{11}y_1 + a_{12}y_2 + s_{11}x_1 + s_{12}x_2 + i_1 \quad (2.12a)$$

$$\frac{dx_2}{dt} = -x_2 + a_{21}y_1 + a_{22}y_2 + s_{21}x_1 + s_{22}x_2 + i_2 \quad (2.12b)$$

โดย

$$y_1 = h(x) \quad (2.13)$$

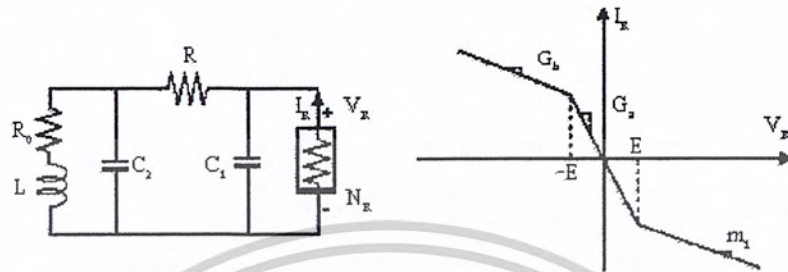
เมื่อเปรียบเทียบสมการฮิสเทอเรซิส กับ สมการ SC-CNN ได้ว่า

$$a_{ij} = \begin{bmatrix} 0 & 0 \\ 1 & 0 \end{bmatrix} \quad s_{ij} = \begin{bmatrix} \sigma+1 & \omega \\ -\omega & \sigma+1 \end{bmatrix} \quad i_1 = i_2 = 0$$

เอกสารนี้เป็นเอกสารที่สงวนไว้สำหรับการใช้งานเพื่อการศึกษาเท่านั้น ไม่อนุญาตให้นำไปใช้ประโยชน์ด้านการค้า  
ไม่ว่ากรณีใดๆ ทั้งสิ้น อีกทั้งห้ามมิให้ดัดแปลงเนื้อหาและต้องอ้างอิงถึงเจ้าของเอกสารทุกครั้งที่มีการนำไปใช้

## 2.4 สมการกำเนิดสัญญาณเคออสติกแบบของนิ้ว

เป็นวงจรที่คิดค้นโดยศาสตราจารย์นิ้ว เป็นวงจรไม่เชิงเส้นอันดับที่สามที่สามารถสร้างระบบไดนามิกได้หลายรูปแบบ มีวงจรเป็นดังรูปที่ 2.8



รูปที่ 2.8 ออสซิลเลเตอร์ของศาสตราจารย์ นิ้ว

จากรูปที่ 2.8 นำมาเขียนสมการสถานะ ได้ดังนี้

$$\begin{aligned}\frac{dv_1}{d\tau} &= \frac{1}{C_1} [G(v_2 - v_1) - g(v_1)] \\ \frac{dv_2}{d\tau} &= \frac{1}{C_2} [G(v_1 - v_2) + i_3] \\ \frac{dv_3}{d\tau} &= -\frac{1}{L} [v_2 - R_0 \cdot i_3]\end{aligned}\quad (2.14)$$

โดย 
$$g(v_1) = G_b v_1 + 0.5 \cdot (G_a - G_b) \cdot [|v_1 + E| + |v_1 - E|] \quad (2.15)$$

เขียนสมการใหม่ โดยกำหนดให้

$$\begin{aligned}x &= v_1 / E & y &= v_2 / E & z &= i_3 / (E \cdot G) \\ t &= (\tau \cdot G) / C_2 & m_0 &= (G_a / G) + 1 & m_1 &= (G_b / G) + 1 \\ \alpha &= C_2 / C_1 & \beta &= C_2 / (L \cdot G^2) & \gamma &= (C_2 \cdot R_0) / (G \cdot L)\end{aligned}\quad (2.16)$$

สามารถเขียนสมการใหม่ได้เป็น

$$\begin{aligned}\frac{dx}{dt} &= \alpha \cdot [y - h(x)] \\ \frac{dy}{dt} &= x - y + z\end{aligned}\quad (2.17)$$

เอกสารนี้เป็นเอกสารที่สงวนไว้สำหรับการใช้งานเพื่อการศึกษาเท่านั้น ไม่อนุญาตให้นำไปใช้ประโยชน์ด้านการค้า ไม่ว่ากรณีใดๆ ทั้งสิ้น อีกทั้งห้ามมิให้ดัดแปลงเนื้อหาและต้องอ้างอิงถึงเจ้าของเอกสารทุกครั้งที่มีการนำไปใช้

$$\frac{dz}{dt} = -\beta \cdot y - \gamma \cdot z$$

โดย  $h(x) = m_1 \cdot x + 0.5 \cdot (m_0 - m_1) \cdot [|x+1| - |x-1|]$  (2.18)

เมื่อ  $x, y, z$  เป็นตัวแปรสถานะ และ  $\alpha, \beta, \gamma, m_0, m_1$  เป็นตัวแปรของระบบ

เขียนให้อยู่ในรูปของสมการ SC-CNN 3 เซลล์ ได้

$$\begin{aligned} \frac{dx_1}{dt} &= -x_1 + a_1 y_1 + s_{11} x_1 + s_{12} x_2 \\ \frac{dx_2}{dt} &= -x_2 + s_{21} x_1 + s_{23} x_3 \\ \frac{dx_3}{dt} &= -x_3 + s_{32} x_2 + s_{33} x_3 \end{aligned} \quad (2.19)$$

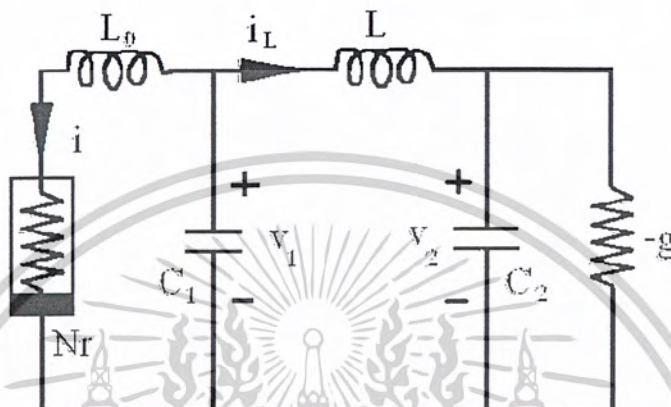
ให้  $x = x_1, y = x_2$  และ  $z = x_3$  เมื่อแทนค่าตัวแปรเพื่อหาความสัมพันธ์ของพารามิเตอร์ของนิว กับสมการ SC-CNN ได้ว่า

$$s_{ij} = \begin{bmatrix} 1 - \alpha m_1 & \alpha & 0 \\ 1 & 0 & 1 \\ 0 & -\beta & 1 - \gamma \end{bmatrix} \quad a_{ij} = \begin{bmatrix} \alpha(m_1 - m_0) & 0 & 0 \\ 0 & 0 & 0 \\ 0 & 0 & 0 \end{bmatrix} \quad (2.20)$$

เอกสารนี้เป็นเอกสารที่สงวนไว้สำหรับการใช้งานเพื่อการศึกษาเท่านั้น ไม่อนุญาตให้นำไปใช้ประโยชน์ด้านการค้า  
ไม่ว่ากรณีใดๆ ทั้งสิ้น อีกทั้งห้ามมิให้ดัดแปลงเนื้อหาและต้องอ้างอิงถึงเจ้าของเอกสารทุกครั้งที่มีการนำไปใช้

## 2.5 สมการกำเนิดสัญญาณไฮเปอร์เคออสติกของ Saito Hysteresis Chaos Generator (SHCG)

T. Saito ได้เสนอวงจรไม่เชิงเส้นอันดับที่สี่เพื่อสร้างสัญญาณไฮเปอร์เคออสติก มีวงจรเป็นดังรูปที่ 2.9



รูปที่ 2.9 แสดงวงจร Saito Hysteresis Chaos Generator

สมการสถานะของ SHCG คือ

$$\begin{aligned} \frac{dx}{dt} &= -z - w \\ \frac{dy}{dt} &= \gamma(2\delta y + z) \\ \frac{dz}{dt} &= \rho(x - y) \\ \varepsilon \frac{dw}{dt} &= x - h(w) \end{aligned} \quad (2.21)$$

$$\text{โดยที่ } h(w) = w - (|w+1| - |w-1|) \quad (2.22)$$

$x, y, z$  และ  $w$  เป็นตัวแปรสถานะ และ  $\gamma, \delta, \rho$  และ  $\varepsilon$  เป็นค่าพารามิเตอร์ของระบบ

$Nr$  เป็นความต้านทานไม่เชิงเส้นและเป็นฟังก์ชัน  $h(x)$  โดยให้  $\varepsilon$  เข้าใกล้ 0 ความต้านทานไม่เชิงเส้น  $Nr$  และ ตัวเหนี่ยวนำ  $L_0$  ทำให้เกิดปรากฏการณ์การกระโดดและฮิสเทอเรซิส

เอกสารนี้เป็นเอกสารที่สงวนไว้สำหรับการใช้งานเพื่อการศึกษาเท่านั้น ไม่อนุญาตให้นำไปใช้ประโยชน์ด้านการค้า ไม่ว่าจะกรณีใดๆ ทั้งสิ้น อีกทั้งห้ามมิให้ดัดแปลงเนื้อหาและต้องอ้างอิงถึงเจ้าของเอกสารทุกครั้งที่มีการนำไปใช้

โดยการปรับค่าพารามิเตอร์ของ SHCG ทำให้สามารถเกิดพฤติกรรมต่าง ๆ เช่น ฟังก์ชันคาบ, เกออสติก, ไฮเปอร์เกออสติกได้

ให้  $x = x_1$ ,  $y = x_2$ ,  $z = x_3$  และ  $w = x_4$  จากสมการของ SHCG เมื่อนำมาเปรียบเทียบกับสมการของ CNN แล้วจะได้ว่า

$$a_{ij} = \begin{bmatrix} 0 & 0 & 0 & 0 \\ 0 & 0 & 0 & 0 \\ 0 & 0 & 0 & 0 \\ 0 & 0 & 0 & 2/\varepsilon \end{bmatrix} \quad s_{ij} = \begin{bmatrix} 1 & 0 & -1 & -1 \\ 0 & 1+2\gamma\delta & \gamma & 0 \\ \rho & -\rho & 1 & 0 \\ 1/\varepsilon & 0 & 0 & 1-1/\varepsilon \end{bmatrix} \quad (2.23)$$

## 2.6 การซิงโครไนส์ในระบบ เกออสติก

เป้าหมายของการซิงโครไนส์ในระบบสื่อสาร คือ การที่สามารถกู้ข้อมูลพื้นฐานจากสัญญาณที่มีสัญญาณรบกวนปะปนมาได้โดยมีความสามารถในการตรวจสอบแก้ไขข้อมูลที่ส่งมาให้ถูกต้องได้มากที่สุดเท่าที่ทำได้

### 2.6.1 การซิงโครไนส์ระหว่างระบบ 2 ระบบที่เหมือนกันเข้าด้วยกัน

กำหนดให้ระบบต่อเนื่อง 2 ระบบดังนี้

$$\frac{dx}{dt} = f(x) \quad (2.24)$$

และ

$$\frac{dx'}{dt} = f'(x') \quad (2.25)$$

จะซิงโครไนส์กันเมื่อ

$$\lim_{t \rightarrow \infty} \|x'(t) - x(t)\| = 0$$

โดยมี  $x(0)$  และ  $x'(0)$  เป็นค่าเริ่มต้นของภาคส่งและภาครับตามลำดับและมี  $s_i(t)$  เป็นสัญญาณตั้งต้นในการส่งโดยรวมสัญญาณนี้กับสัญญาณพื้นฐาน  $g_i(t)$  ในรูปแบบเชิงเส้น

สมมุติให้  $s_i(t) \equiv g_i(t)$  ที่ภาครับต้องมีการกู้ฟังก์ชันพื้นฐานโดย  $g(t) = h(x(t))$  ซึ่งได้รับจากสถานะของภาคส่ง ทำให้ภาครับกับภาคส่งซิงโครไนส์กันโดยอัตโนมัติและมีฟังก์ชัน  $h(\bullet)$  ที่

เหมือนกันทำให้สามารถกู้ฟังก์ชันพื้นฐานได้ โดยเฉพาะอย่างยิ่งถ้าสามารถทำให้  $x'(t)$  กู้เข้าหา  $x(t)$  ทำให้ค่าประมาณ  $\hat{g}(t) = h(x'(t))$  เข้าใกล้  $g(t)$

2.6.2 การซิงโครไนซ์แบบทั่วไป จากสมการ (2.24) และ (2.25) เป็นการซิงโครไนซ์แบบทั่วไป ถ้ามีการส่งข้อมูล  $M$  ดังนี้

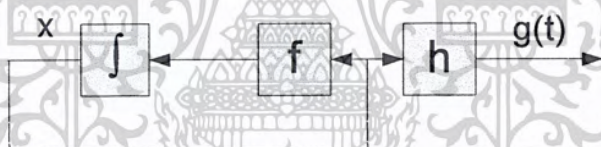
$$\lim_{t \rightarrow \infty} \|x'(t) - M(x(t))\| = 0$$

โดยที่ค่าเริ่มต้น  $x(0)$  ไม่สัมพันธ์กันกับ  $x'(0)$

2.6.3 การซิงโครไนซ์แบบเฟส การทำเฟสซิงโครไนซ์ของระบบ 2 ระบบเข้าด้วยกันเกิดขึ้นได้ถ้ามีความแตกต่าง  $|\phi'(t) - \phi(t)|$  ระหว่างเฟส ของ 2 ระบบซึ่งถูกแบ่งด้วยค่าคงที่เฟส  $\phi(t)$  ที่เหมาะสม

#### 2.6.4 การซิงโครไนซ์แบบ Pecora - Carroll

ในระบบซิงโครไนซ์แบบ Drive-Response ที่เสนอโดย Pecora-Carroll ให้ระบบเคออสติกเป็นดังสมการ (2.24)



รูปที่ 2.10 แสดงระบบสมการตามสมการ (2.24)

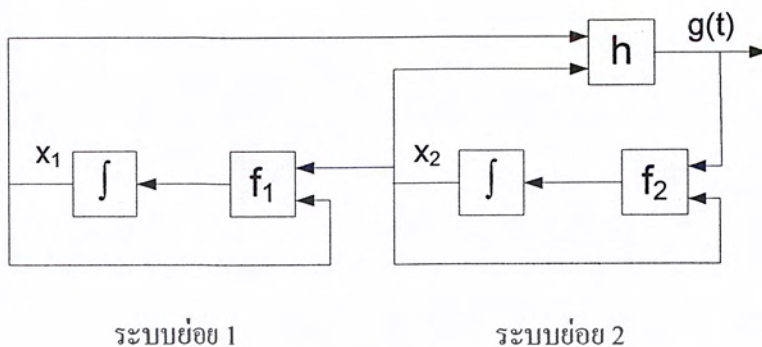
ให้ผลลัพธ์ที่ได้  $g(t) = h(x)$

เราทำการแบ่งสมการออกเป็น 2 ส่วนด้วย สถานะ  $x_1$  และ  $x_2$  ได้ดังสมการที่ 2.25

$$\begin{aligned} \frac{dx_1}{dt} &= f_1(x_1, x_2) \\ \frac{dx_2}{dt} &= f_2(x_2, g(t)) \end{aligned} \quad (2.26)$$

ซึ่ง  $x = (x_1, x_2)$  และ  $g(t) = h(x_1(t), x_2(t))$  เป็นสัญญาณที่ใช้ส่งออก แสดงได้ดังรูปที่ 2.10

เอกสารนี้เป็นเอกสารที่สงวนไว้สำหรับการใช้งานเพื่อการศึกษาเท่านั้น ไม่อนุญาตให้นำไปใช้ประโยชน์ด้านการค้าไม่ว่ากรณีใดๆ ทั้งสิ้น อีกทั้งห้ามมิให้ดัดแปลงเนื้อหาและต้องอ้างอิงถึงเจ้าของเอกสารทุกครั้งที่มีการนำไปใช้



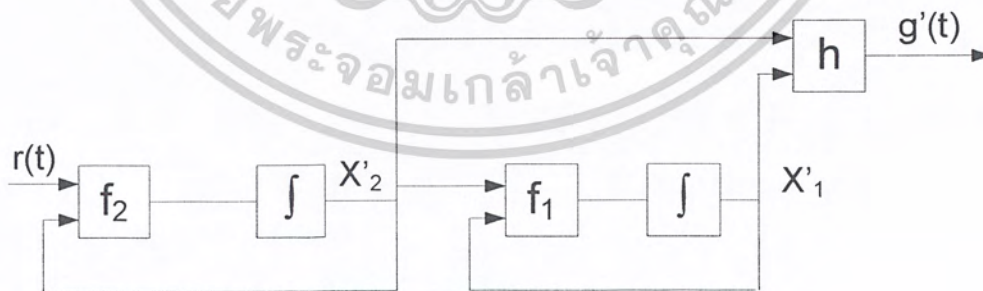
รูปที่ 2.11 แสดงระบบที่ถูกแบ่งเป็น 2 ระบบย่อย ตามสมการ (2.25)

ระบบนี้ได้ถูกแบ่งออกเป็น 2 ส่วน โดยมีเงื่อนไขของ Lyapunov (Conditional Lyapunov Exponents) ของระบบย่อยที่สองเป็นลบ ซึ่งจะบอกว่าระบบมีเสถียรภาพและสามารถทำการซิงโครไนส์ได้

พื้นฐานการซิงโครไนส์ของ Pecora – Carroll คือ คุณสมบัติของ CLE ของระบบย่อยที่สอง ต้องเป็นลบ เมื่อถูกขับด้วยสัญญาณ  $g(t)$  จะเข้าสู่ค่าใดค่าหนึ่ง แสดงว่าระบบจะซิงโครไนส์ เมื่อถูกขับด้วยสัญญาณเดียวกัน

พิจารณาส่วนย่อยที่สอง ถ้าเงื่อนไขของ Lyapunov เป็นลบ แล้ว ค่าของ  $x'_2(0)$  จะเข้าใกล้ค่า  $x_2(0)$  และ  $r(t) = g(t)$  จะทำให้ค่าสถานะของ  $x'_2$  เข้าใกล้  $x_2$

$$\lim_{t \rightarrow \infty} \|x'_2(t) - x_2(t)\| = 0$$



รูปที่ 2.12 แสดงภาครับที่สามารถกู้สัญญาณพื้นฐานได้

เอกสารนี้เป็นเอกสารที่สงวนไว้สำหรับการใช้งานเพื่อการศึกษาเท่านั้น ไม่อนุญาตให้นำไปใช้ประโยชน์ด้านการค้าไม่ว่ากรณีใดๆ ทั้งสิ้น อีกทั้งห้ามมิให้ดัดแปลงเนื้อหาและต้องอ้างอิงถึงเจ้าของเอกสารทุกครั้งที่มีการนำไปใช้

### บทที่ 3

#### การออกแบบวงจร

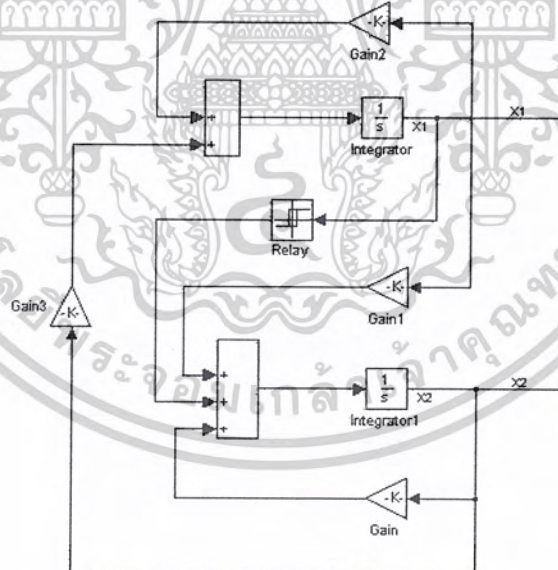
#### 3.1 การออกแบบวงจรกำเนิดสัญญาณเคออสติกแบบฮิสเทอเรซิส

จากสมการ (2.9) เราสามารถเปรียบเทียบสมการฮิสเทอเรซิส กับสมการของ SC-CNN แล้ว  
จะได้ว่า

$$a_{ij} = \begin{bmatrix} 0 & 0 \\ 1 & 0 \end{bmatrix} \quad s_{ij} = \begin{bmatrix} \sigma+1 & \omega \\ -\omega & \sigma+1 \end{bmatrix} \quad i_1 = i_2 = 0$$

$$y_1 = h(x_1) \quad (3.1)$$

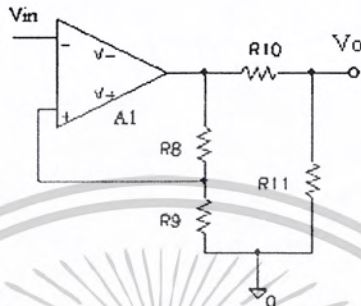
ทำการจำลองสมการ (2.9) ด้วยโปรแกรม Matlab simulink ได้ดังนี้



รูปที่ 3.1 แสดงแบบจำลองของสมการกำเนิดสัญญาณเคออสติกแบบฮิสเทอเรซิส

เอกสารนี้เป็นเอกสารที่สงวนไว้สำหรับการใช้งานเพื่อการศึกษาเท่านั้น ไม่อนุญาตให้นำไปใช้ประโยชน์ด้านการค้า  
ไม่ว่ากรณีใดๆ ทั้งสิ้น อีกทั้งห้ามมิให้ดัดแปลงเนื้อหาและต้องอ้างอิงถึงเจ้าของเอกสารทุกครั้งที่มีการนำไปใช้

จากรูปที่ 2.5 เราจะนำวงจรดังกล่าวไปใช้งาน โดยการดัดแปลงวงจรในกลุ่ม B1 ใหม่ เพื่อให้สอดคล้องกับสมการ ฮิสเทอเรซิส ตามรูปที่ 3.1 และหาค่าของความต้านทานที่เหมาะสมให้กับวงจร



รูปที่ 3.2 วงจรเสมือน สมการ ฮิสเทอเรซิส

จากรูปที่ 3.2 แสดงความสัมพันธ์ของ  $V_o$  และ  $V_{in}$  ดังสมการ

$$V_o = \begin{cases} +V_{sat} & \text{for } V_{in} \geq V_{LT} \\ -V_{sat} & \text{for } V_{in} \leq V_{LT} \end{cases} \quad (3.2)$$

โดย  $V_{LT}$  เป็น แรงดันเปลี่ยนต่ำสุด,  $V_{UT}$  เป็นแรงดันเปลี่ยนสูงสุด มีความสัมพันธ์กับแรงดันอินพุตของออปแอมป์ตามสมการ

$$V_{LT} = \frac{R_9}{R_8 + R_9} (V_{sat}) \quad \text{และ} \quad V_{UT} = \frac{R_9}{R_8 + R_9} (-V_{sat}) \quad (3.3)$$

โดยมี  $R_{10}$  และ  $R_{11}$  เป็นวงจรแบ่งแรงดันเพื่อลดแรงดันเอาท์พุทให้อยู่ในช่วง  $[-1, 1]$  หาค่าของ  $R_{10}$  และ  $R_{11}$  ได้จาก

$$\frac{R_{11}}{R_{10} + R_{11}} = \frac{V_{in}}{V_{sat}} \quad (3.4a)$$

$$\frac{R_9}{R_8 + R_9} = \frac{V_{in}}{V_{sat}} \quad (3.4b)$$

เอกสารนี้เป็นเอกสารที่สงวนไว้สำหรับการใช้งานเพื่อการศึกษาเท่านั้น ไม่อนุญาตให้นำไปใช้ประโยชน์ด้านการค้า ไม่ว่าจะกรณีใดๆ ทั้งสิ้น อีกทั้งห้ามมิให้ดัดแปลงเนื้อหาและต้องอ้างอิงถึงเจ้าของเอกสารทุกครั้งที่มีการนำไปใช้

เมื่อ  $V_{in}$  เป็นแรงดันอินพุตที่ป้อนเข้ามาทางออปแอมป์  
จากรูปที่ 2.5 กลุ่มวงจร B3 เราจะได้สมการเป็น

$$C_j \frac{dx_j}{dt} = -\frac{x_j}{R_4} + \frac{R_3}{R_1 R_4} V_1 + \frac{R_3}{R_2 R_4} V_2$$

จากรูปที่ 2.5 กลุ่มวงจร B2 เป็นวงจรกลับเฟสมีอัตราขยายเท่ากับ 1 ได้ว่า

$$R_5 = R_6$$

### 3.2 การสร้างวงจรกำเนิดสัญญาณเคออสติกแบบฮิสเทอเรซิส ในทางปฏิบัติ

1. เลือกค่า  $\sigma$  เพื่อหาค่า  $\omega$  จากสมการ  $\omega = \sqrt{1 - \sigma^2}$

$$a_{21} = 1; \quad s_{11} = s_{22} = \sigma + 1; \quad s_{12} = -s_{21} = \omega;$$

2. กำหนดค่าอินพุตของเซลล์ ให้  $V_1 = x_1, V_2 = x_2, V_3 = 0$
3. เลือกค่า  $C = 50nF$  และ  $R_3 = R_4 = R_5 = 1k\Omega$
4. คำนวณหาค่า

$$R_1 = \frac{R_4}{s_{11}}, \quad R_2 = \frac{R_4}{s_{12}}$$

5. ให้  $R_6 = R_7 = 100k\Omega$   $R_9 = R_{11} = 1k\Omega$  คำนวณหาค่า

$$R_8 = R_9 V_{sat} - R_9$$

$$R_{10} = R_{11} V_{sat} - R_{11}$$

กำหนด ให้ค่า  $\sigma = 0.05$  จะได้ค่าความต้านทานและค่าตัวเก็บประจุเป็นดังนี้

เซลล์ที่ 1

$$R_1 = 952\Omega; \quad R_2 = R_3 = R_4 = R_5 = 1k\Omega \quad R_6 = R_7 = 100k\Omega$$

$$R_8 = R_{10} = 14k\Omega; \quad R_9 = R_{11} = 1k\Omega; \quad C_1 = 50nF$$

เซลล์ที่ 2

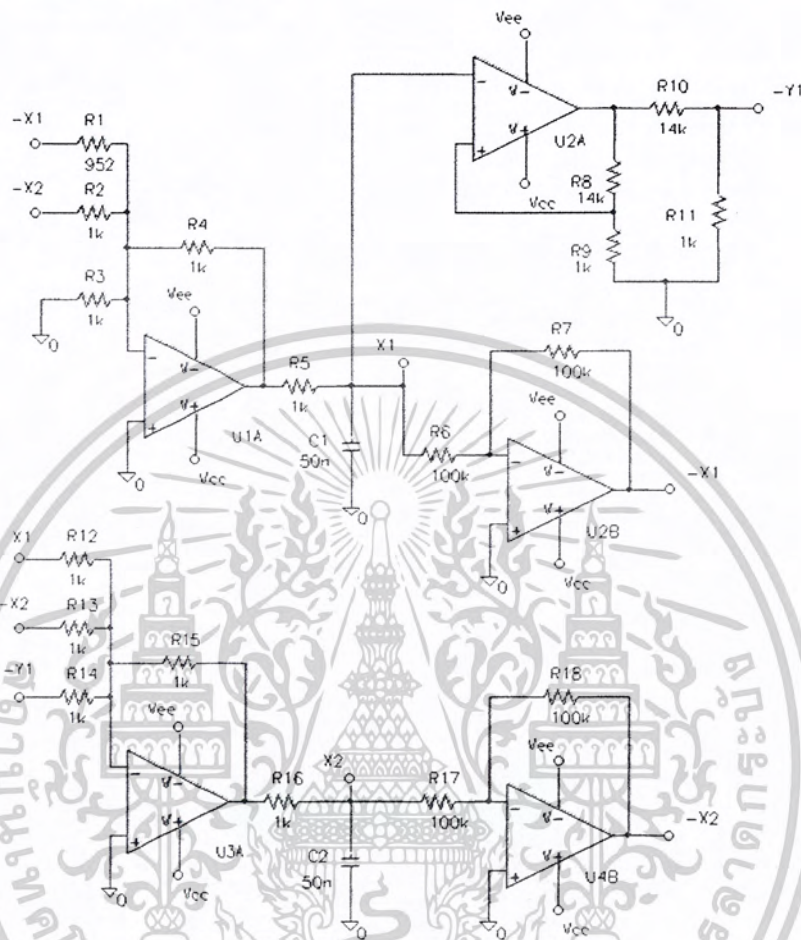
$$R_{12} = R_{13} = R_{14} = R_{15} = R_{16} = 1k\Omega; \quad R_{17} = R_{18} = 100k\Omega$$

$$C_2 = 50nF$$

โดย  $V_{cc} = 15V, V_{ee} = -15V$

เอกสารนี้เป็นเอกสารที่สงวนไว้สำหรับการใช้งานเพื่อการศึกษาเท่านั้น ไม่อนุญาตให้นำไปใช้ประโยชน์ด้านการค้า  
ไม่ว่ากรณีใดๆ ทั้งสิ้น อีกทั้งห้ามมิให้ดัดแปลงเนื้อหาและต้องอ้างอิงถึงเจ้าของเอกสารทุกครั้งที่มีการนำไปใช้

สร้างเป็นวงจรได้ดังรูปที่ 3.3



รูปที่ 3.3 แสดงวงจรกำเนิดสัญญาณเคออสติกแบบฮิสเทอเรซิส โดยใช้เซลล์ SC-CNN 2 เซลล์

### 3.3 การออกแบบวงจรกำเนิดสัญญาณเคออสติกแบบของฉั่ว

กำหนดให้พารามิเตอร์ของสัญญาณเคออสติกแบบ Chua มีดังนี้

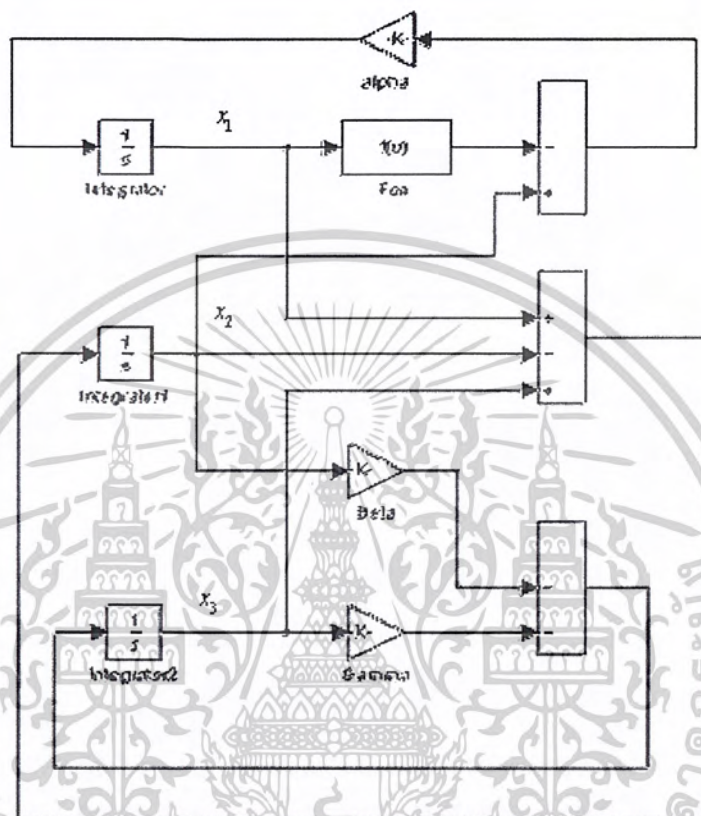
$$\alpha = 9, \beta = 14.286, \gamma = 0, m_0 = -1/7, m_1 = 2/7$$

แทนค่าที่กำหนดให้ลงในสมการ (2.20) ได้ว่า

$$a_{ij} = \begin{bmatrix} 3.8571 & 0 & 0 \\ 0 & 0 & 0 \\ 0 & 0 & 0 \end{bmatrix} \quad s_{ij} = \begin{bmatrix} -1.5714 & 9 & 0 \\ 1 & 0 & 1 \\ 0 & -14.286 & 1 \end{bmatrix}$$

เอกสารนี้เป็นเอกสารที่สงวนไว้สำหรับการใช้งานเพื่อการศึกษาเท่านั้น ไม่อนุญาตให้นำไปใช้ประโยชน์ด้านการค้าไม่ว่ากรณีใดๆ ทั้งสิ้น อีกทั้งห้ามมิให้ดัดแปลงเนื้อหาและต้องอ้างอิงถึงเจ้าของเอกสารทุกครั้งที่มีการนำไปใช้

ทำการจำลองสมการ (2.18) ด้วยโปรแกรม Matlab simulink ได้ดังนี้



รูปที่ 3.4 แสดงแบบจำลองของสมการกำเนิดสัญญาณเคออสติกแบบของถั่ว

### 3.4 การสร้างวงจรกำเนิดสัญญาณเคออสติกแบบของถั่ว ทางปฏิบัติ

1. กำหนดอินพุตของแต่ละเซลล์ จากรูปที่ 2.5

เซลล์ที่ 1 มี 3 อินพุต ให้  $V_1 = y_1$ ,  $V_2 = x_1$ ,  $V_3 = x_2$

เซลล์ที่ 2 มี 2 อินพุต ให้  $V_1 = x_1$ ,  $V_2 = x_3$

เซลล์ที่ 3 มี 2 อินพุต ให้  $V_1 = x_2$ ,  $V_2 = x_3$

2. เปรียบเทียบสัมประสิทธิ์ของแต่ละเซลล์ กับค่าความต้านทาน

ให้  $R_3 = 100k\Omega$  และ  $R_4 = 1k\Omega$

เอกสารนี้เป็นเอกสารที่สงวนไว้สำหรับการใช้งานเพื่อการศึกษาเท่านั้น ไม่อนุญาตให้นำไปใช้ประโยชน์ด้านการค้าไม่ว่ากรณีใดๆ ทั้งสิ้น อีกทั้งห้ามมิให้ดัดแปลงเนื้อหาและต้องอ้างอิงถึงเจ้าของเอกสารทุกครั้งที่มีการนำไปใช้

3. กลุ่มวงจร B2 เป็นวงจรกลับเฟสมีอัตราขยายเท่ากับ 1

$$\text{ดังนั้น } R_5 = R_6 = 100k\Omega$$

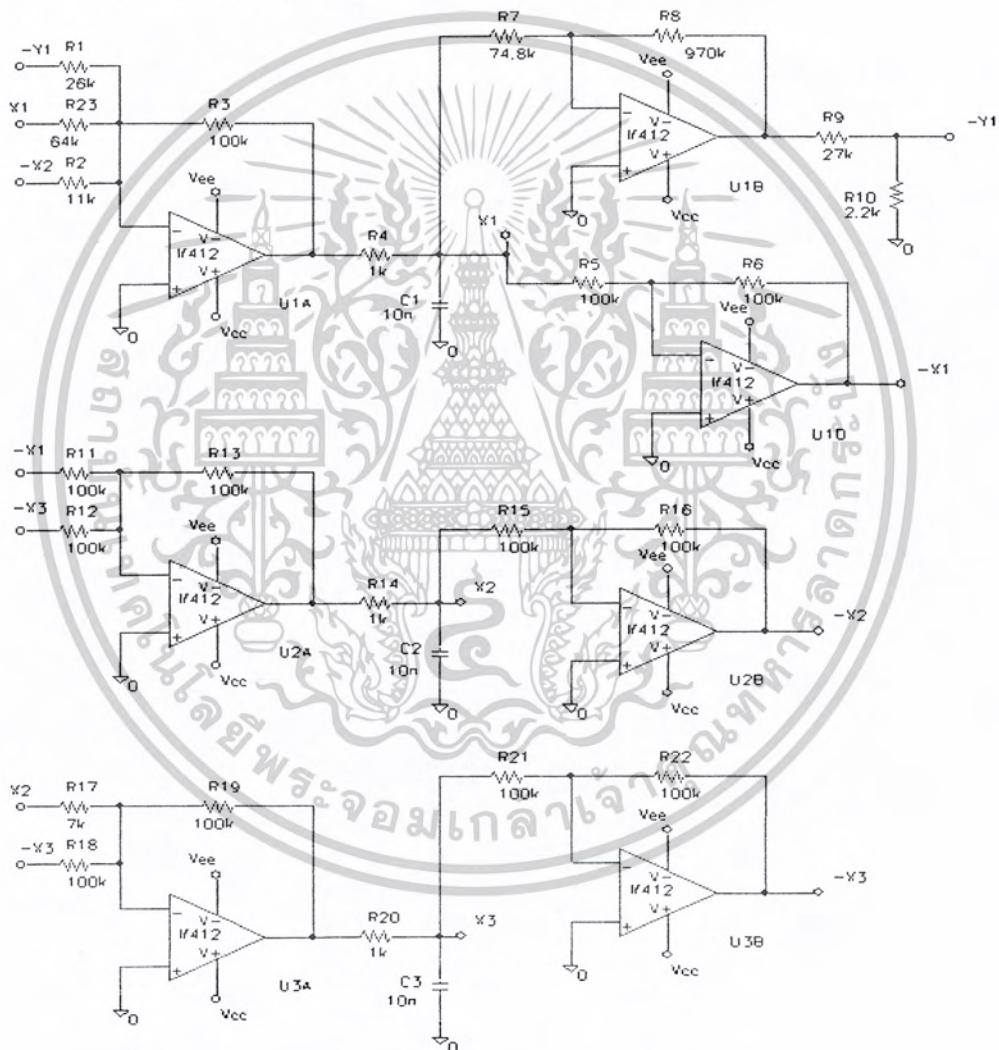
4. กลุ่มวงจร B1 หาค่าความต้านทานได้จากสมการ (2.7)

$$\text{ให้ } V_{sat} = 15V \text{ ได้}$$

$$R_8 = 15R_7$$

$$R_9 = 14R_{10}$$

5. นำไปสร้างวงจรได้ดังรูป



รูปที่ 3.5 แสดงวงจรของฉั้ว ที่แทนด้วยวงจรของ SC-CNN 3 เซลล์

โดย  $V_{cc} = 15V$ ,  $V_{ee} = -15V$

เอกสารนี้เป็นเอกสารที่สงวนไว้สำหรับการใช้งานเพื่อการศึกษาเท่านั้น ไม่อนุญาตให้นำไปใช้ประโยชน์ด้านการค้า  
ไม่ว่ากรณีใดๆ ทั้งสิ้น อีกทั้งห้ามมิให้ดัดแปลงเนื้อหาและต้องอ้างอิงถึงเจ้าของเอกสารทุกครั้งที่มีการนำไปใช้

### 3.5 การออกแบบวงจรกำเนิดสัญญาณไฮเปอร์เคออสติกแบบ SHCG

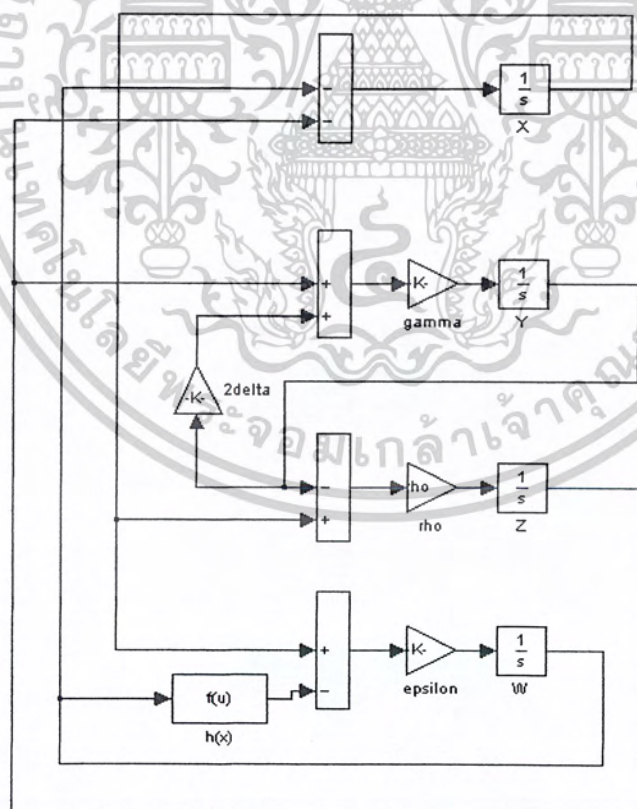
กำหนดให้พารามิเตอร์ของสัญญาณไฮเปอร์เคออสติกแบบ SHCG มีดังนี้

$$\gamma = 1, \rho = 14, \delta = 1 \text{ และ } \varepsilon \rightarrow 0 \text{ (ในทางปฏิบัติให้ } \varepsilon = 10^{-2} \text{)}$$

เมื่อแทนค่าสมการของ CNN (2.23) จะได้ว่า

$$a_{ij} = \begin{bmatrix} 0 & 0 & 0 & 0 \\ 0 & 0 & 0 & 0 \\ 0 & 0 & 0 & 0 \\ 0 & 0 & 0 & 200 \end{bmatrix} \quad s_{ij} = \begin{bmatrix} 1 & 0 & -1 & -1 \\ 0 & 3 & 1 & 0 \\ 14 & -14 & 1 & 0 \\ 100 & 0 & 0 & -99 \end{bmatrix}$$

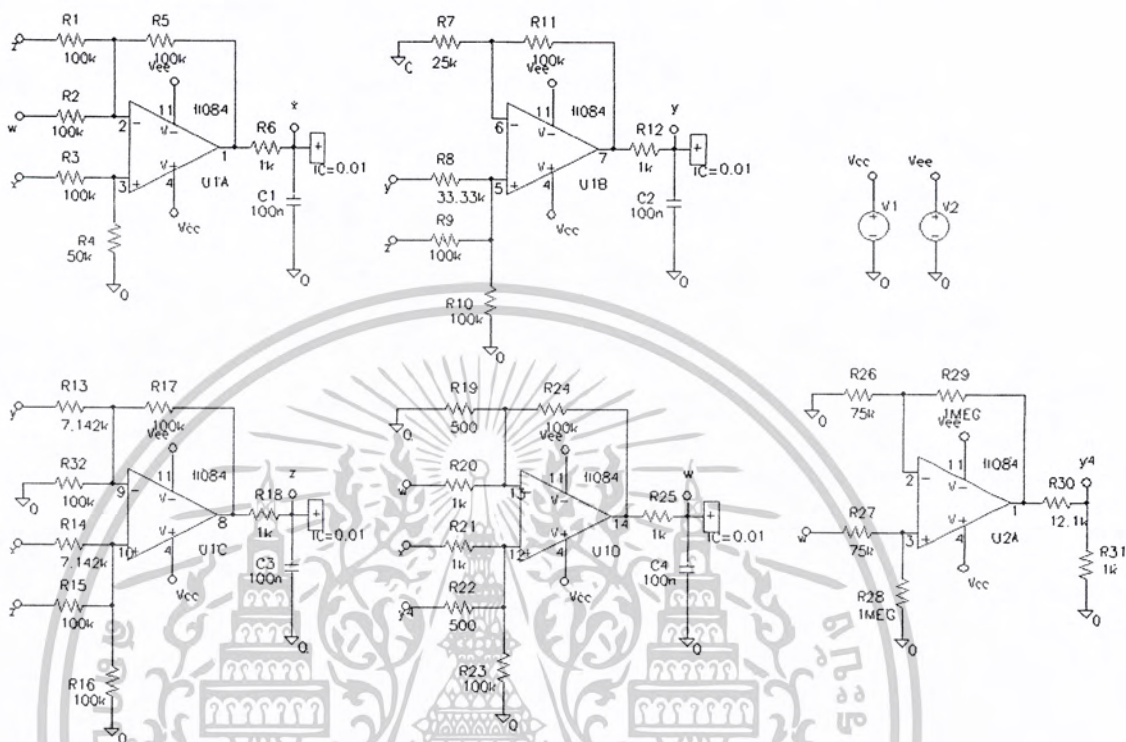
ทำการจำลองสมการ (2.21) ด้วยโปรแกรม Matlab simulink ได้ดังนี้



รูปที่ 3.6 แสดงแบบจำลองของสมการกำเนิดสัญญาณไฮเปอร์เคออสติกแบบ SHCG

เอกสารนี้เป็นเอกสารที่สงวนไว้สำหรับการใช้งานเพื่อการศึกษาเท่านั้น ไม่อนุญาตให้นำไปใช้ประโยชน์ด้านการค้าไม่ว่ากรณีใดๆ ทั้งสิ้น อีกทั้งห้ามมิให้ดัดแปลงเนื้อหาและต้องอ้างอิงถึงเจ้าของเอกสารทุกครั้งที่มีการนำไปใช้

จากแบบจำลองในโปรแกรม MATLAB ที่ได้นำไปสร้างเป็นวงจรได้ตามรูปที่ 3.7



รูปที่ 3.7 แสดงวงจรของ SHCG ที่แทนด้วย SC-CNN 4 เซลล์

### 3.6 การซิงโครไนซ์วงจรในระบบ เคออสติก

จากสมการของ Chua (2.14) นำมาเขียนใหม่เพื่อความสะดวกเป็นสมการ (3.1)

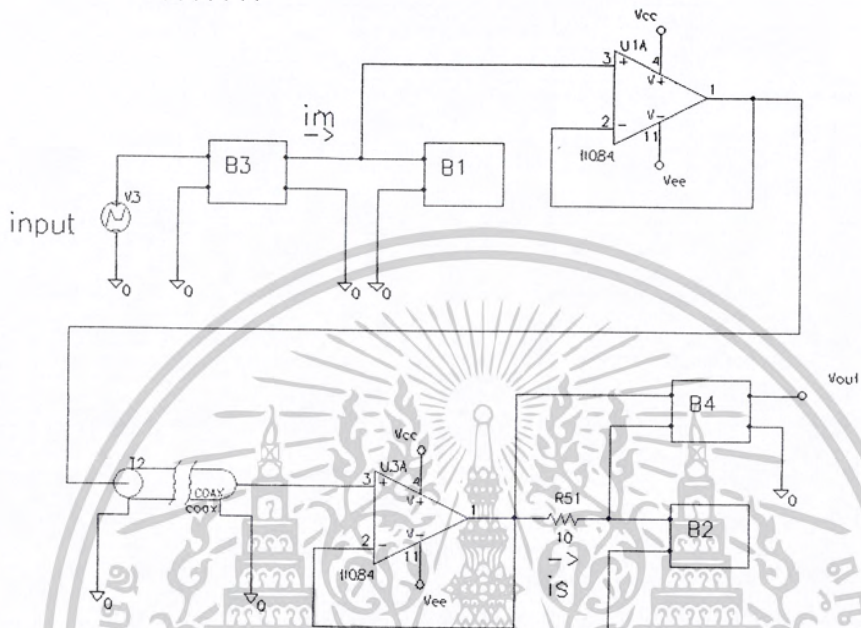
$$\begin{aligned} \frac{dx}{dt} &= \alpha \cdot [y - h(x)] \\ \frac{dy}{dt} &= x - y + z \\ \frac{dz}{dt} &= -\beta \cdot y - \gamma \cdot z \end{aligned} \tag{3.1}$$

โดย  $h(x) = m_1 \cdot x + 0.5 \cdot (m_0 - m_1) \cdot [|x + 1| - |x - 1|]$

เอกสารนี้เป็นเอกสารที่สงวนไว้สำหรับการใช้งานเพื่อการศึกษาเท่านั้น ไม่อนุญาตให้นำไปใช้ประโยชน์ด้านการค้า  
ไม่ว่ากรณีใดๆ ทั้งสิ้น อีกทั้งห้ามมิให้ดัดแปลงเนื้อหาและต้องอ้างอิงถึงเจ้าของเอกสารทุกครั้งที่มีการนำไปใช้

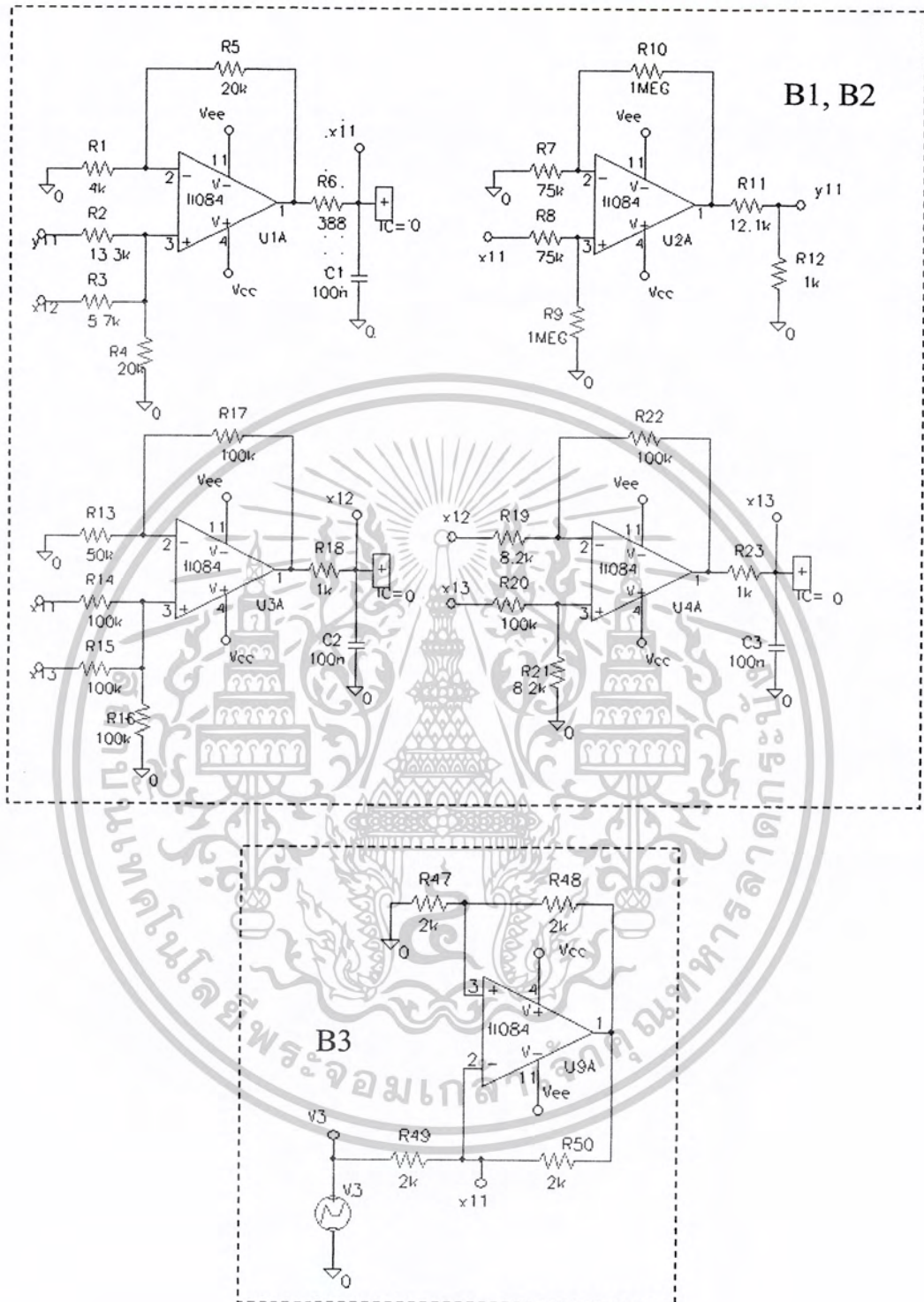


เราจะได้สองสร้างวงจรเข้ารหัสสัญญาณที่ต้องการเข้ากับสัญญาณเคออสติกเพื่อใช้ในการสื่อสารข้อมูล โดยมีรูปแบบวงจรดังรูป



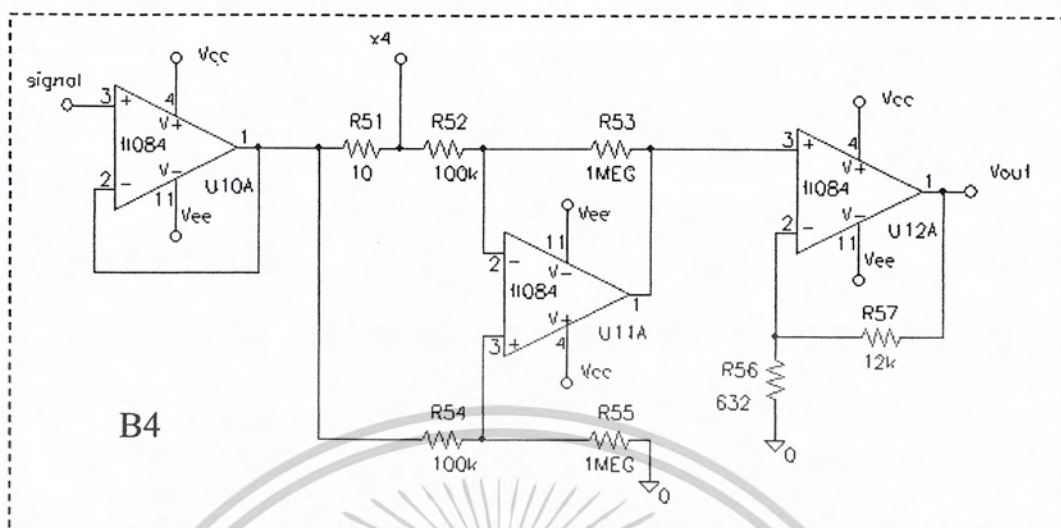
รูปที่ 3.9 แสดงบล็อกไดอะแกรมของวงจร

เอกสารนี้เป็นเอกสารที่สงวนไว้สำหรับการใช้งานเพื่อการศึกษาเท่านั้น ไม่อนุญาตให้นำไปใช้ประโยชน์ด้านการค้าไม่ว่ากรณีใดๆ ทั้งสิ้น อีกทั้งห้ามมิให้ดัดแปลงเนื้อหาและต้องอ้างอิงถึงเจ้าของเอกสารทุกครั้งที่มีการนำไปใช้



รูปที่ 3.10 แสดงรายละเอียดของบล็อกต่างๆ

เอกสารนี้เป็นเอกสารที่สงวนไว้สำหรับการใช้งานเพื่อการศึกษาเท่านั้น ไม่อนุญาตให้นำไปใช้ประโยชน์ด้านการค้า  
ไม่ว่ากรณีใดๆ ทั้งสิ้น อีกทั้งห้ามมิให้ดัดแปลงเนื้อหาและต้องอ้างอิงถึงเจ้าของเอกสารทุกครั้งที่มีการนำไปใช้



รูปที่ 3.10 (ต่อ) แสดงรายละเอียดของบล็อกต่างๆ

จากรูปที่ 4.21 วงจรประกอบไปด้วย 4 กลุ่ม คือ

**B1** และ **B2** เป็นวงจรกำเนิดสัญญาณเคออสติกแบบ SC-CNN แบบ 2 scrolls

**B3** เป็นวงจรแปลงแรงดันไฟฟ้าให้เป็นกระแสไฟฟ้า (เปลี่ยนข้อมูลให้อยู่ในรูปที่ต้องการ)

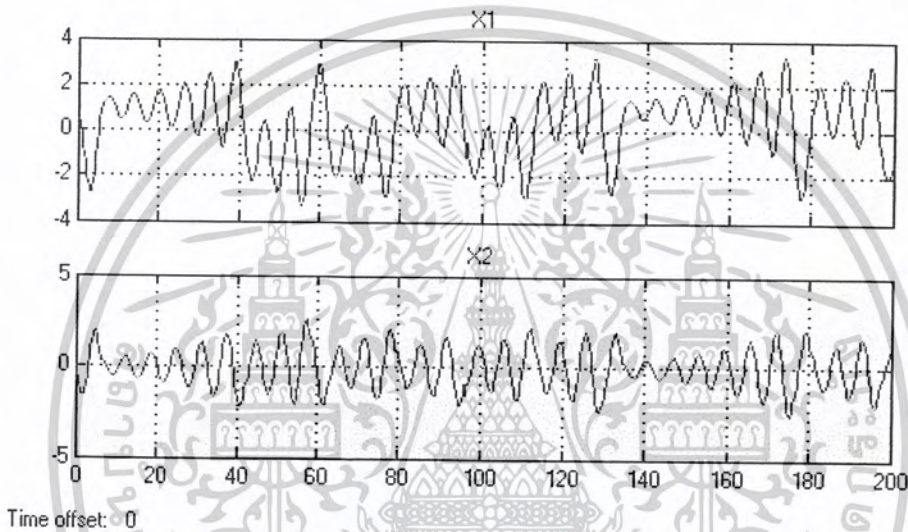
**B4** เป็นวงจรแปลงสัญญาณที่รับได้กลับเป็นข้อมูลที่ต้องการ

## บทที่ 4

### ผลการทดลอง

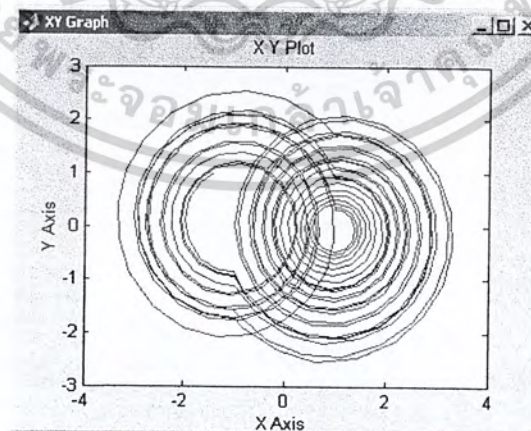
#### 4.1 ผลลัพธ์ที่ได้จากการจำลองวงจรกำเนิดสัญญาณเคออสติกแบบฮิสเทอเรซิส

ทำการวัดผลตอบสนองทางเวลาที่จุด  $x_1$  และ  $x_2$  ของวงจรหน้า ได้ผลดังรูปที่ 4.1



รูปที่ 4.1 แสดงผลตอบสนองทางเวลาของ  $x_1$  และ  $x_2$

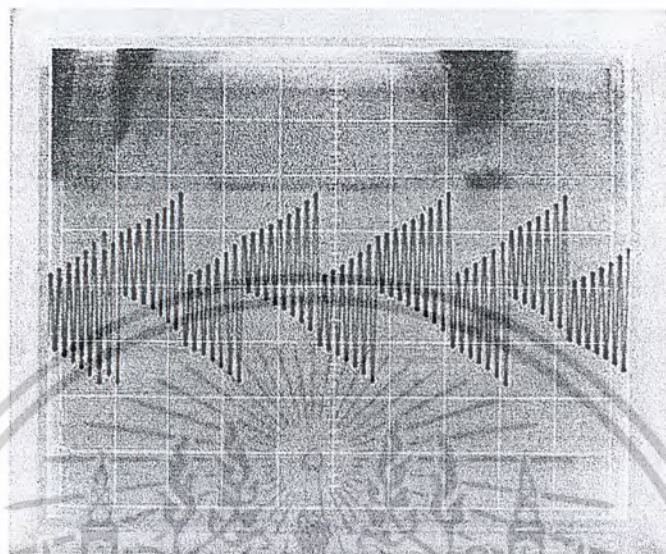
เมื่อนำ  $x_1$  และ  $x_2$  มาวาดกราฟบนระนาบ XY จะได้ดังรูปที่ 4.2



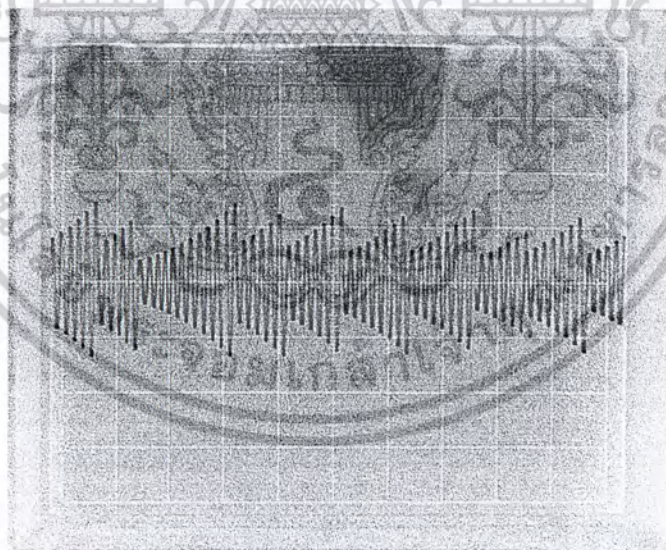
รูปที่ 4.2 แสดงกราฟของ  $x_1$  และ  $x_2$  บนระนาบ XY

เอกสารนี้เป็นเอกสารที่สงวนไว้สำหรับการใช้งานเพื่อการศึกษาเท่านั้น ไม่อนุญาตให้นำไปใช้ประโยชน์ด้านการค้าไม่ว่ากรณีใดๆ ทั้งสิ้น อีกทั้งห้ามมิให้ดัดแปลงเนื้อหาและต้องอ้างอิงถึงเจ้าของเอกสารทุกครั้งที่มีการนำไปใช้

#### 4.2 สัญญาณที่ได้จากวงจรกำเนิดสัญญาณเคออสติกแบบฮิสเทอเรซิส



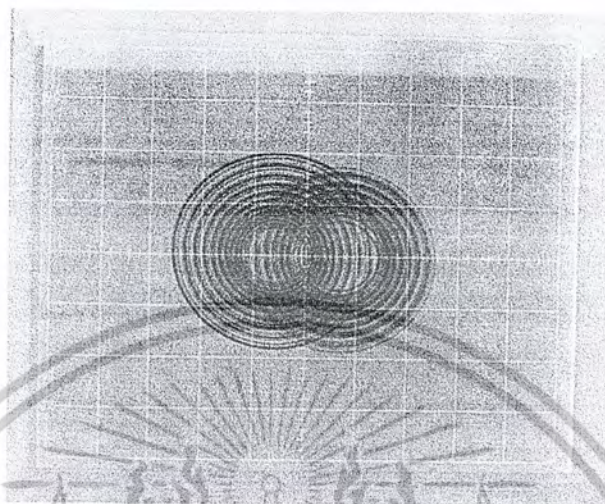
รูปที่ 4.3 แสดงผลตอบสนองทางเวลาของ  $x_1$



รูปที่ 4.4 แสดงผลตอบสนองทางเวลาของ  $x_2$

เอกสารนี้เป็นเอกสารที่สงวนไว้สำหรับการใช้งานเพื่อการศึกษาเท่านั้น ไม่อนุญาตให้นำไปใช้ประโยชน์ด้านการค้าไม่ว่ากรณีใดๆ ทั้งสิ้น อีกทั้งห้ามมิให้ดัดแปลงเนื้อหาและต้องอ้างอิงถึงเจ้าของเอกสารทุกครั้งที่มีการนำไปใช้

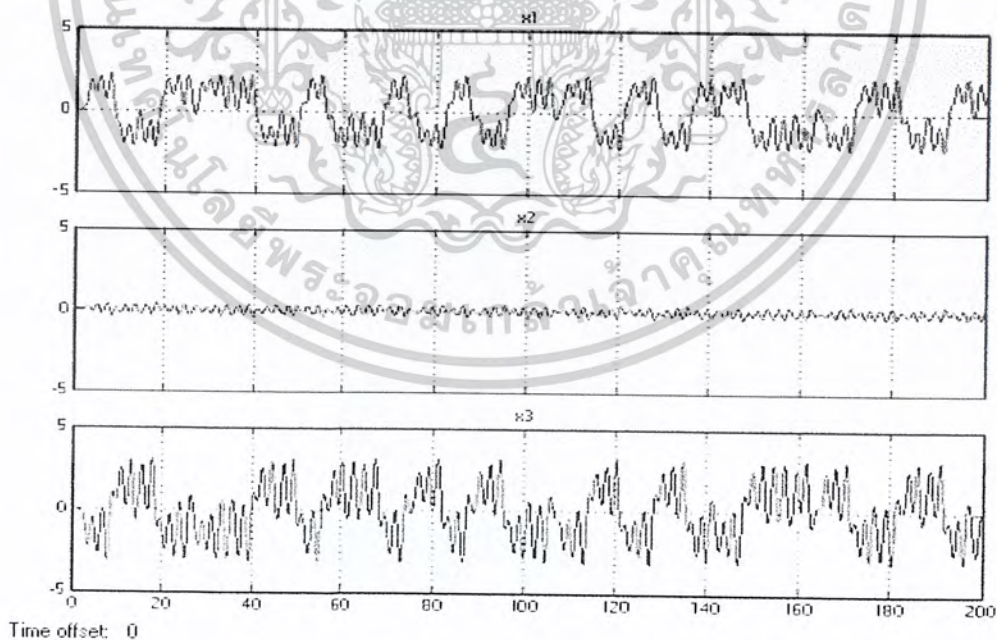
เมื่อนำสัญญาณ  $x_1$  และ  $x_2$  มาแสดงบนระนาบ XY ได้ดังรูปที่ 4.5



รูปที่ 4.5 แสดงสัญญาณ  $x_1$  และ  $x_2$  บนระนาบ XY จากออสซิลเลเตอร์

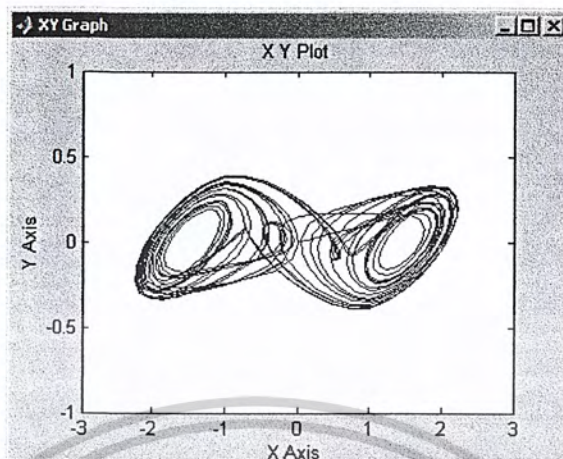
#### 4.3 ผลลัพธ์ที่ได้จากการจำลองวงจรกำเนิดสัญญาณแอกอสติกแบบของฉนวน

ทำการวัดผลตอบสนองทางเวลาที่จุด  $x_1$ ,  $x_2$  และ  $x_3$  ได้ผลดังรูปที่ 4.6



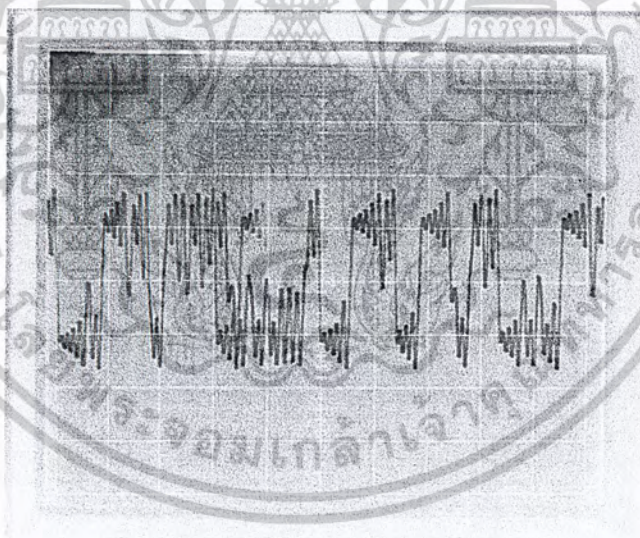
รูปที่ 4.6 แสดงผลตอบสนองทางเวลาของ  $x_1$ ,  $x_2$  และ  $x_3$

เอกสารนี้เป็นเอกสารที่สงวนไว้สำหรับการใช้งานเพื่อการศึกษาเท่านั้น ไม่อนุญาตให้นำไปใช้ประโยชน์ด้านการค้า  
ไม่ว่ากรณีใดๆ ทั้งสิ้น อีกทั้งห้ามมิให้ตัดแปลงเนื้อหาและต้องอ้างอิงถึงเจ้าของเอกสารทุกครั้งที่มีการนำไปใช้



รูปที่ 4.7 แสดงกราฟของ  $x_1$  และ  $x_2$  บนระนาบ XY ของวงจรถ้าหน้า 19

#### 4.4 ผลลัพธ์ที่ได้จากการสร้างวงจรถ้าจริงของวงจรถ้า



รูปที่ 4.8 แสดงผลตอบสนองทางเวลาของ  $x_1$

เอกสารนี้เป็นเอกสารที่สงวนไว้สำหรับการใช้งานเพื่อการศึกษาเท่านั้น ไม่อนุญาตให้นำไปใช้ประโยชน์ด้านการค้า  
ไม่ว่ากรณีใดๆ ทั้งสิ้น อีกทั้งห้ามมิให้ดัดแปลงเนื้อหาและต้องอ้างอิงถึงเจ้าของเอกสารทุกครั้งที่มีการนำไปใช้



รูปที่ 4.9 แสดงผลตอบสนองทางเวลาของ  $x_2$

เมื่อนำสัญญาณ  $x_1$  และ  $x_2$  มาวาดบนระนาบ XY ได้ดังรูปที่ 4.10

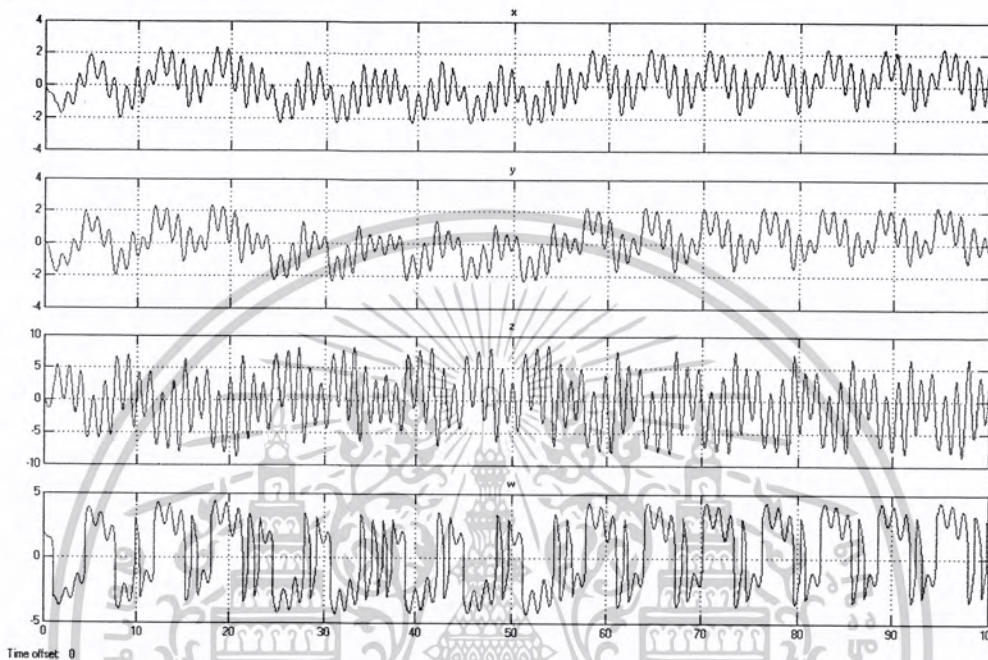


รูปที่ 4.10 แสดงสัญญาณของ  $x_1$  และ  $x_2$  บนระนาบ XY จากออสซิลเลเตอร์

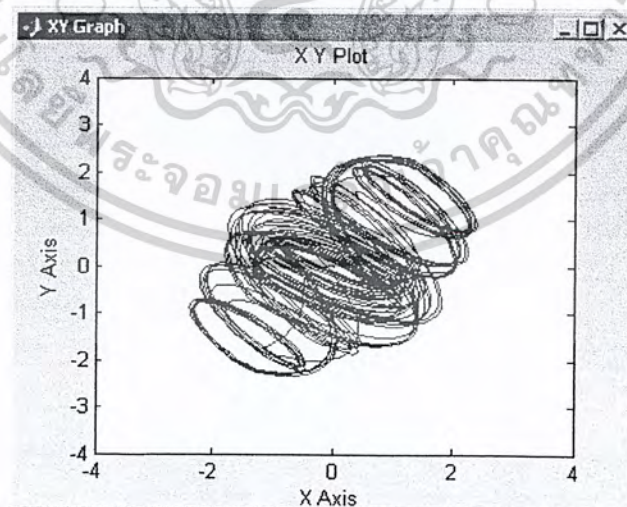
เอกสารนี้เป็นเอกสารที่สงวนไว้สำหรับการใช้งานเพื่อการศึกษาเท่านั้น ไม่อนุญาตให้นำไปใช้ประโยชน์ด้านการค้า  
ไม่ว่ากรณีใดๆ ทั้งสิ้น อีกทั้งห้ามมิให้ดัดแปลงเนื้อหาและต้องอ้างอิงถึงเจ้าของเอกสารทุกครั้งที่มีการนำไปใช้

#### 4.5 ผลลัพธ์ที่ได้จากการจำลองวงจรกำเนิดสัญญาณเคออสติกแบบ SHCG

ทำการวัดผลตอบสนองทางเวลาที่จุด  $x_1$ ,  $x_2$ ,  $x_3$  และ  $x_4$  ได้ผลดังรูปที่ 4.6

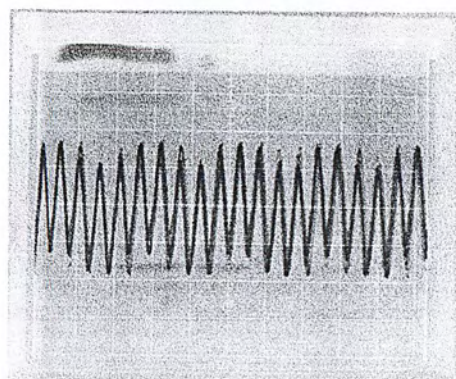


รูปที่ 4.11 แสดงผลตอบสนองทางเวลาของ  $x_1$ ,  $x_2$ ,  $x_3$  และ  $x_4$

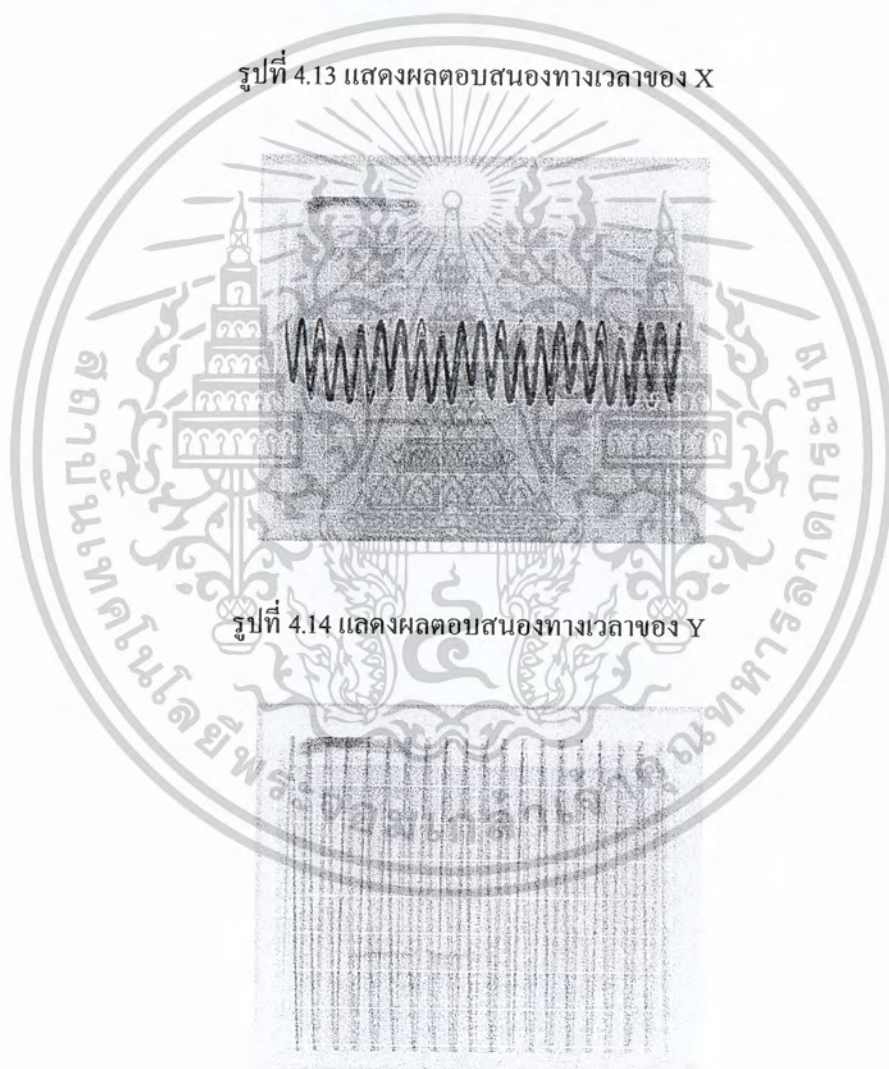


รูปที่ 4.12 แสดงกราฟของ  $x_1$  และ  $x_2$  บนระนาบ XY ของวงจรหน้า 22

เอกสารนี้เป็นเอกสารที่สงวนไว้สำหรับการใช้งานเพื่อการศึกษาเท่านั้น ไม่อนุญาตให้นำไปใช้ประโยชน์ด้านการค้าไม่ว่ากรณีใดๆ ทั้งสิ้น อีกทั้งห้ามมิให้ดัดแปลงเนื้อหาและต้องอ้างอิงถึงเจ้าของเอกสารทุกครั้งที่มีการนำไปใช้



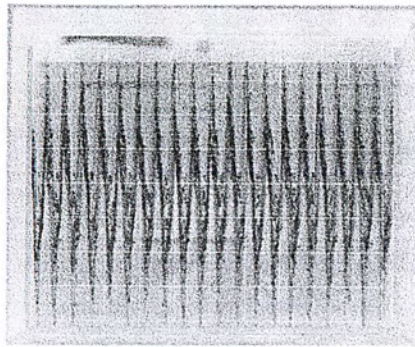
รูปที่ 4.13 แสดงผลตอบสนองทางเวลาของ X



รูปที่ 4.14 แสดงผลตอบสนองทางเวลาของ Y

รูปที่ 4.15 แสดงผลตอบสนองทางเวลาของ Z

เอกสารนี้เป็นเอกสารที่สงวนไว้สำหรับการใช้งานเพื่อการศึกษาเท่านั้น ไม่อนุญาตให้นำไปใช้ประโยชน์ด้านการค้า  
ไม่ว่ากรณีใดๆ ทั้งสิ้น อีกทั้งห้ามมิให้ดัดแปลงเนื้อหาและต้องอ้างอิงถึงเจ้าของเอกสารทุกครั้งที่มีการนำไปใช้

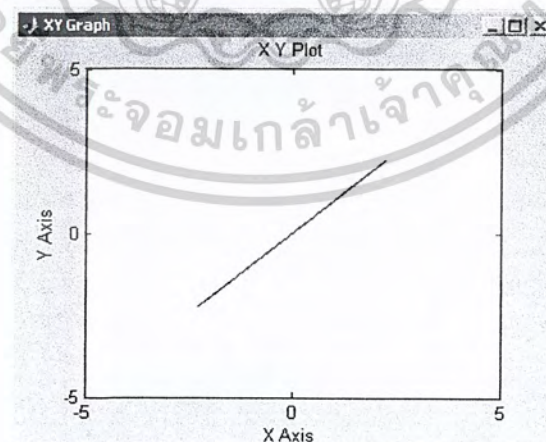


รูปที่ 4.16 แสดงผลตอบสนองทางเวลาของ W

รูปที่ 4.17 สัญลักษณ์ของ X และ Y บนระนาบ XY จากออสซิลเลเตอร์

#### 4.6 ผลการทดลองการซิงโครไนซ์ของวงจรของตัว

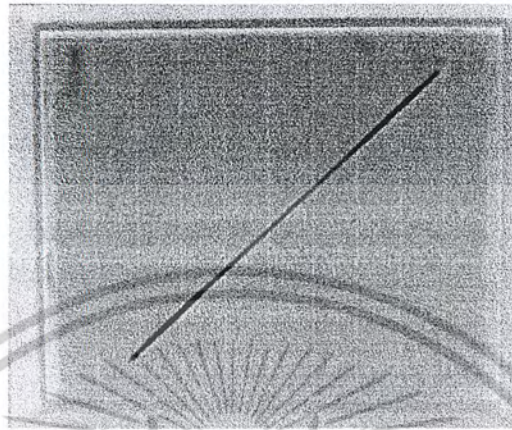
ผลที่ได้จากโปรแกรม MATLAB



รูปที่ 4.18 แสดงความสัมพันธ์ของ  $x_1$  กับ  $x'_1$

เอกสารนี้เป็นเอกสารที่สงวนไว้สำหรับการใช้งานเพื่อการศึกษาเท่านั้น ไม่อนุญาตให้นำไปใช้ประโยชน์ด้านการค้า  
ไม่ว่ากรณีใดๆ ทั้งสิ้น อีกทั้งห้ามมิให้ดัดแปลงเนื้อหาและต้องอ้างอิงถึงเจ้าของเอกสารทุกครั้งที่มีการนำไปใช้

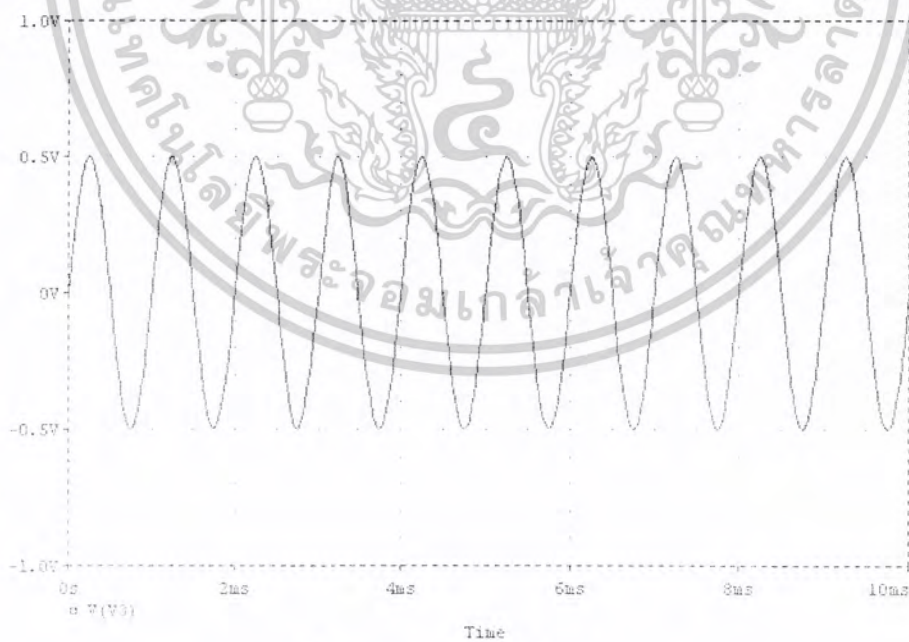
ผลที่ได้จากวงจรของฉั้ว



รูปที่ 4.19 แสดงความสัมพันธ์ของ  $x_1$  กับ  $x'_1$

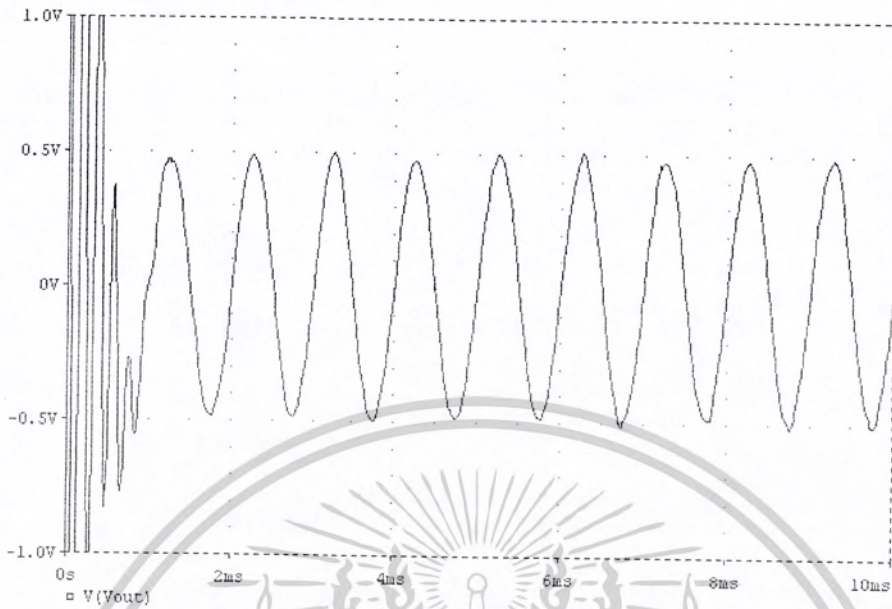
ผลการทดลองเมื่อต้องการส่งคลื่นไซน์ไปกับสัญญาณเคออส

ทำการจำลองวงจร โดยใช้โปรแกรม PSPICE ได้ผลดังรูปที่ 4.20 และ 4.21



รูปที่ 4.20 แสดงสัญญาณที่ภาคส่ง

เอกสารนี้เป็นเอกสารที่สงวนไว้สำหรับการใช้งานเพื่อการศึกษาเท่านั้น ไม่อนุญาตให้นำไปใช้ประโยชน์ด้านการค้า  
ไม่ว่ากรณีใดๆ ทั้งสิ้น อีกทั้งห้ามมิให้ดัดแปลงเนื้อหาและต้องอ้างอิงถึงเจ้าของเอกสารทุกครั้งที่มีการนำไปใช้



รูปที่ 4.21 แสดงสัญญาณที่ภากรับตรวจจับได้



เอกสารนี้เป็นเอกสารที่สงวนไว้สำหรับการใช้งานเพื่อการศึกษาเท่านั้น ไม่อนุญาตให้นำไปใช้ประโยชน์ด้านการค้า  
ไม่ว่ากรณีใดๆ ทั้งสิ้น อีกทั้งห้ามมิให้ดัดแปลงเนื้อหาและต้องอ้างอิงถึงเจ้าของเอกสารทุกครั้งที่มีการนำไปใช้

## บทที่ 5

### สรุปผลการทดลองและข้อเสนอแนะ

#### 5.1 สรุปผลการทดลอง

ในการออกแบบวงจรนั้นค่าของตัวเก็บประจุไม่มีผลต่อการจำลองวงจรเป็นเพียงการเพิ่มหรือลดคาบเวลาเท่านั้น แต่ในการใช้งานจริงค่าของตัวเก็บประจุมีผลเป็นอย่างมาก ในการเกิดสัญญาณเคออสติก

ในการแทนค่าความต้านทานที่ได้จากสมการ ไม่มีค่าที่ต้องการ ทำให้ต้องใช้ความต้านทานปรับค่าได้แทน ซึ่งค่าที่ได้ไม่ตรงกับสมการเท่าใดนัก ถึงแม้จะความต้านทานปรับค่าแบบรอบสูงก็ตาม ทำให้รูปสัญญาณเคออสติกที่ไม่ตรงกับความจริงเท่าไรนัก

การส่งสัญญาณเสียง ไปกับสัญญาณเคออสติกยังไม่สามารถที่จะใช้งานได้จริง ซึ่งเมื่อทำการมอดสัญญาณเสียง จะทำให้สัญญาณเคออสติกไม่สามารถคงรูปอยู่ได้ จึงไม่สามารถทำการส่งได้

สรุปผลการทดลอง เราสามารถใช้วงจร CNN สร้างสัญญาณเคออสติกในรูปแบบต่าง ๆ ได้ โดยการกำหนดค่าพารามิเตอร์ต่าง ๆ ให้กับวงจร CNN หรือกำหนดฟังก์ชันไม่เชิงเส้น เป็นรูปแบบต่าง ๆ

#### 5.2 แนวทางการพัฒนาต่อ

1. ทำการซิงโครไนส์วงจรที่มีความซับซ้อนมากขึ้นได้
2. นำวงจรที่ซิงโครไนส์แล้วไปใช้ประโยชน์ในการสื่อสาร เช่นการมอดสัญญาณเสียงเข้ากับสัญญาณเคออสติก เป็นต้น

เอกสารนี้เป็นเอกสารที่สงวนไว้สำหรับการใช้งานเพื่อการศึกษาเท่านั้น ไม่อนุญาตให้นำไปใช้ประโยชน์ด้านการค้าไม่ว่ากรณีใดๆ ทั้งสิ้น อีกทั้งห้ามมิให้ดัดแปลงเนื้อหาและต้องอ้างอิงถึงเจ้าของเอกสารทุกครั้งที่มีการนำไปใช้

## บรรณานุกรม

- L.O. Chua and L. Yang, **Cellular Neural Networks: Theory** IEEE Transactions on Circuit and Systems p.1257-1272
- L.O. Chua and L. Yang, **Cellular Neural Networks: Applications** IEEE Transactions on Circuit and Systems p.1273-1290
- L.O. Chua and Tamas Roska, **Cellular Neural Networks and Visual Computing** Cambridge University Press,
- Cherif Aissi and Ahmed Shams, **A CNN Implementation of a Hysteresis Chaos Generator** IEEE Transactions on Circuit and Systems
- P. Arena et Al., **Chua's Can Be Generated by CNN Cells** IEEE Transactions on Circuit and Systems I, volume 42 p.123-125 February 1995
- Geza Kalumban, **The Role of Synchronization in Digital Communications Using Chaos Part II: Chaotic Modulation and Chaotic Synchronization** IEEE Transactions on Circuits and Systems

เอกสารนี้เป็นเอกสารที่สงวนไว้สำหรับการใช้งานเพื่อการศึกษาเท่านั้น ไม่อนุญาตให้นำไปใช้ประโยชน์ด้านการค้า  
ไม่ว่ากรณีใดๆ ทั้งสิ้น อีกทั้งห้ามมิให้ตัดแปลงเนื้อหาและต้องอ้างอิงถึงเจ้าของเอกสารทุกครั้งที่มีการนำไปใช้